



Polarização

Carlos Alexandre Wuensche
Processos Radiativos I



Polarização em astronomia

- Presente na emissão de diversos objetos, de masers (fontes coerentes) a radiação de pulsares e AGNs (fontes incoerentes) e espalhamento da luz estelar por grãos de poeira
- "Sonda do meio interestelar" devido à rotação Faraday
- "Sonda do Universo jovem" devido à presença na Radiação Cósmica de Fundo
- Emissão sincrotron é polarizada "por definição"
- No Sol: polarização circular e linear (efeitos de transmissão e absorção)



Emissão polarizada aparece em...

- Emissão sincrotron: até ~80% polarização linear, sem polarização circular... informação sobre intensidade e orientação de campos magnéticos, nível de turbulência
 - Divisão de linhas Zeeman: campos magnéticos quebram as componentes RCP e LCP de linhas espectrais por $2.8 \text{ Hz}/\mu\text{G}$. Medidas fornecem estimativa direta de B
- Processos que modificam o estado de polarização
 - Rotação Faraday: região magneto-iônica gira o plano de polarização linear. Medidas de rotação dão a estimativa do campo magnético B
 - Espalhamento por elétrons livres: induz uma polarização linear que pode indicar a origem da radiação espalhada

Efeito Zeeman

Zeeman Effect

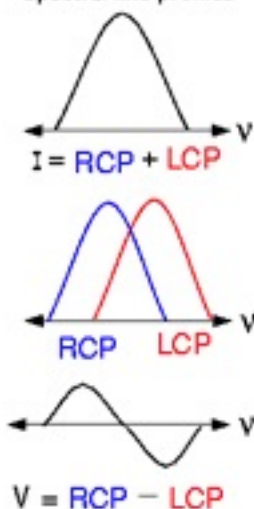
Atoms and molecules with a net magnetic moment will have their energy levels split in the presence of a magnetic field.

⇒ HI, OH, CN, H₂O

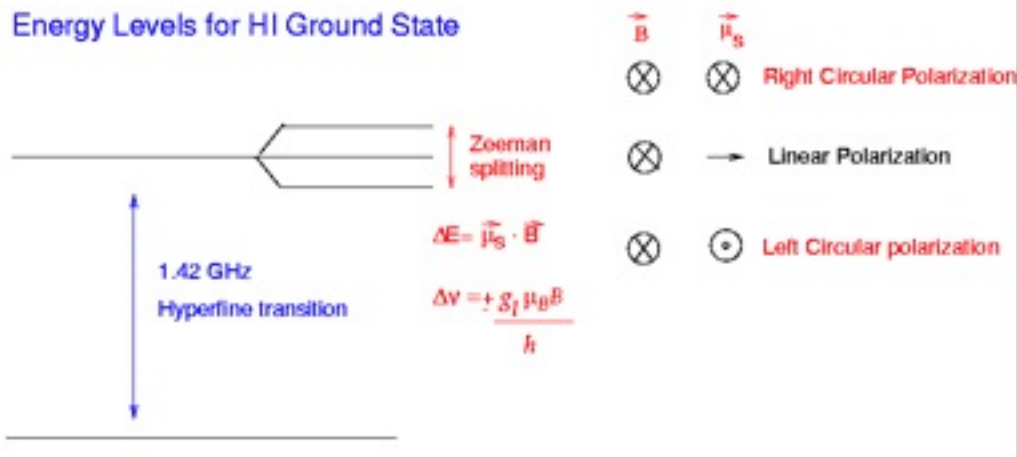
⇒ Detected by observing the frequency shift between right and left circularly polarized emission

⇒ $V = RCP - LCP \propto B_{los}$

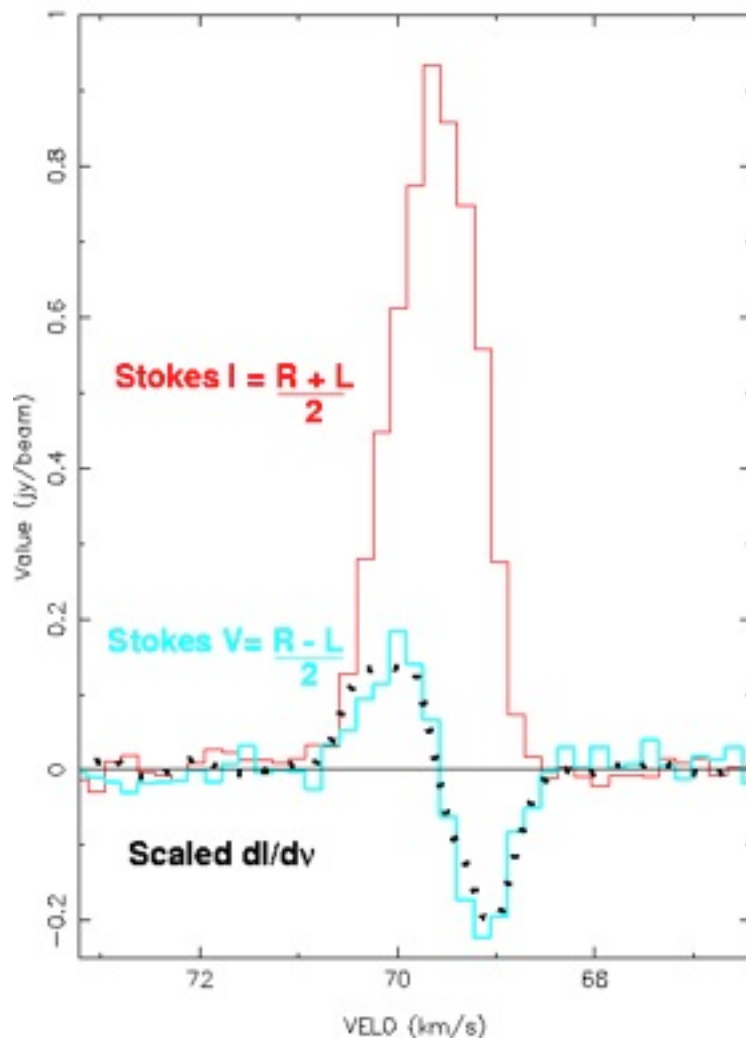
Spectral line profiles

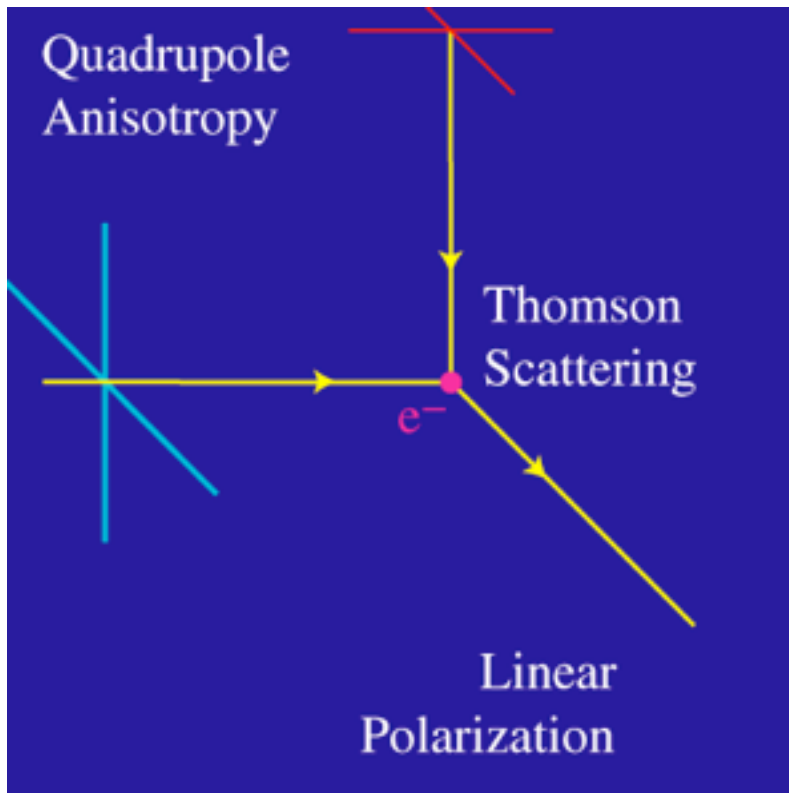


Energy Levels for HI Ground State



W51C (2-b) $B_{\theta} = 2.5 \pm 0.2$ mG



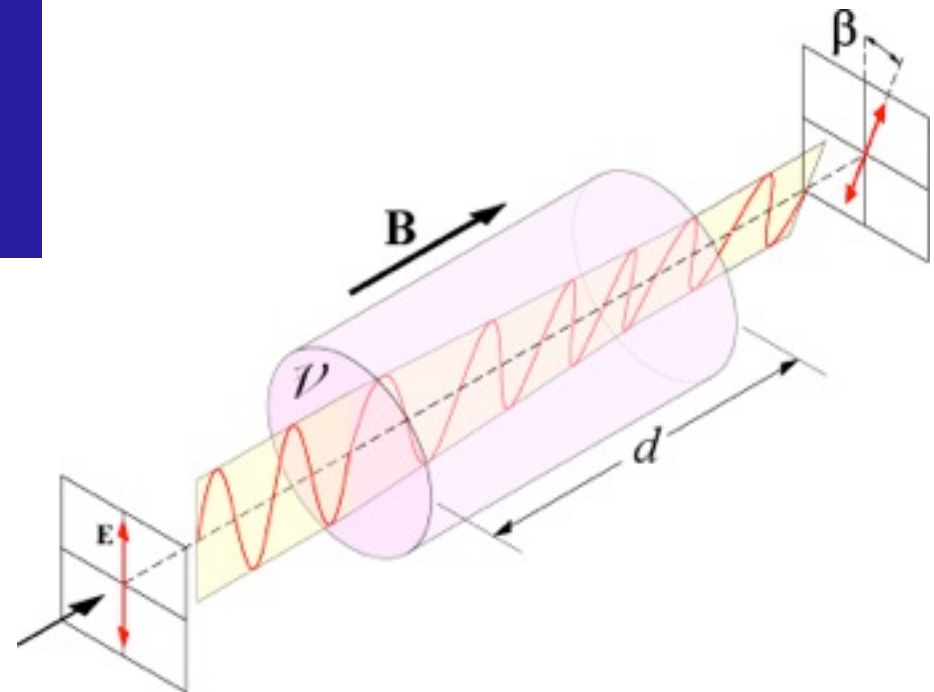


Seção de choque para espalhamento Thomson

$$\frac{d\sigma}{d\Omega} = \frac{3\sigma_T}{8\pi} |\epsilon_i \times \epsilon_j|^2$$

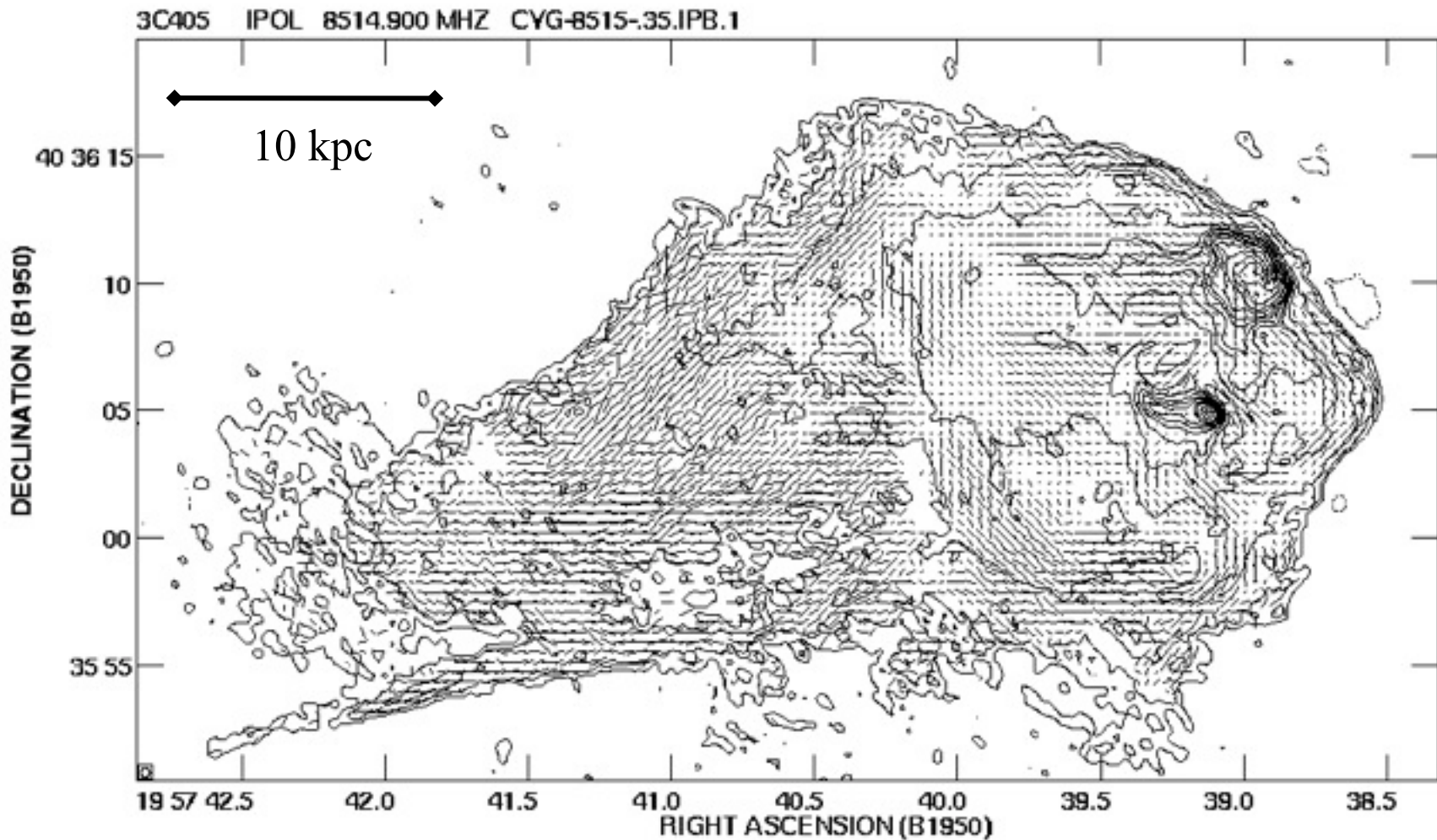
$$\beta = RM\lambda^2$$

$$RM = \frac{e^3}{2\pi m^2 c^4} \int_0^d n_e B ds$$



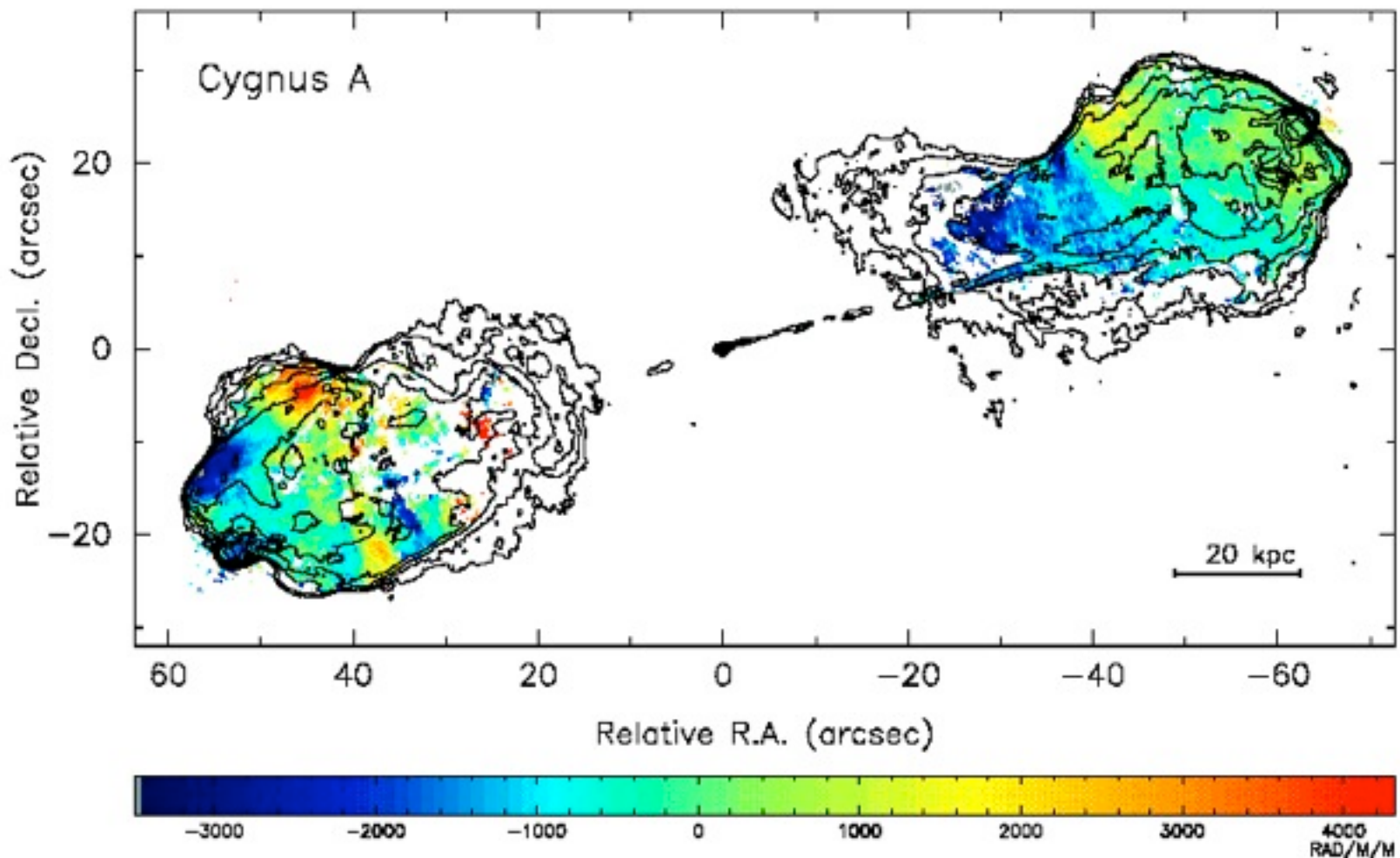
CYGNUS A

VLA @ 8.5 GHz B-vectors Perley & Carilli (1996)



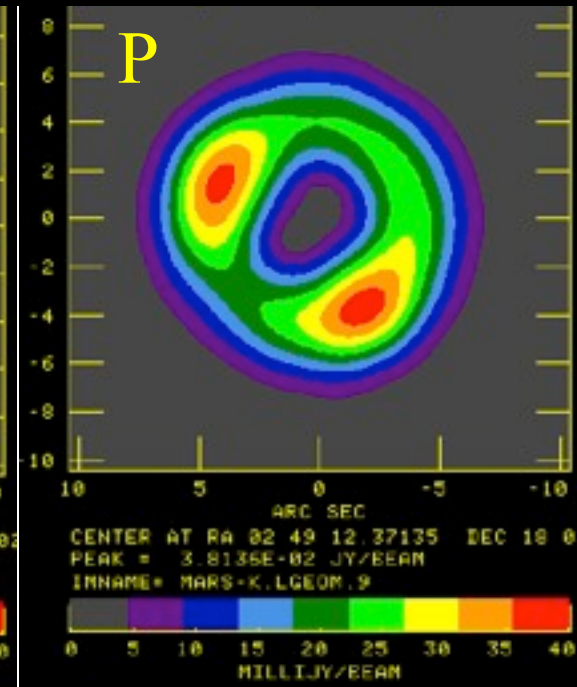
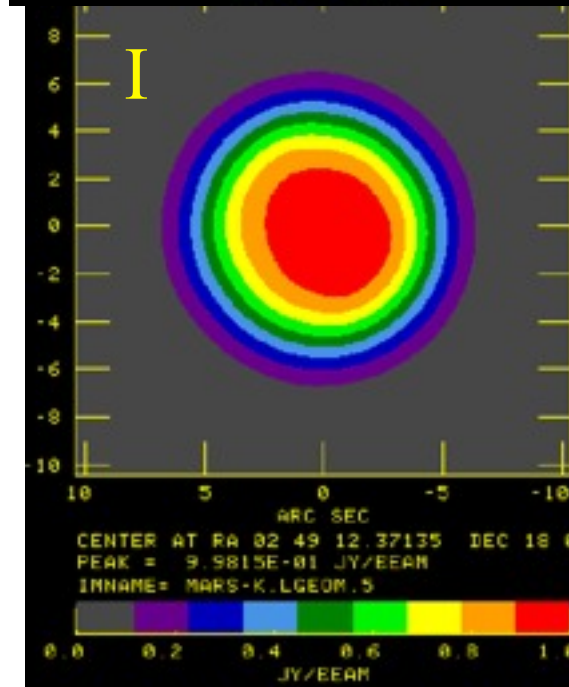
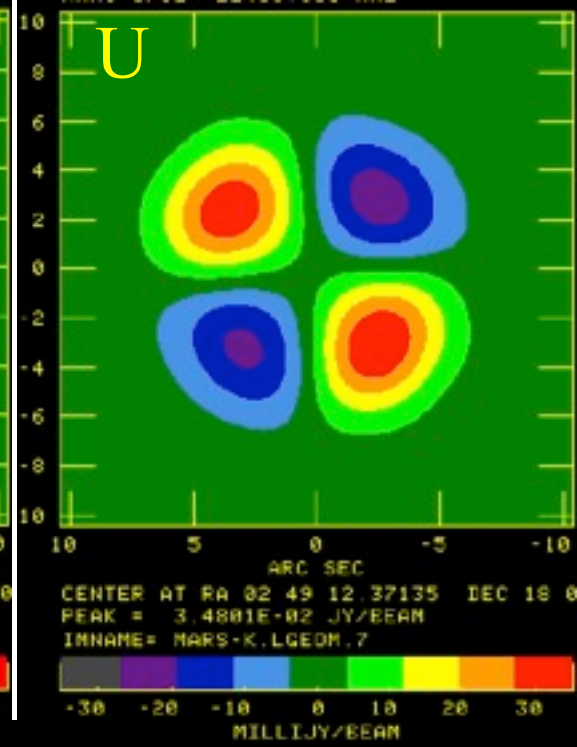
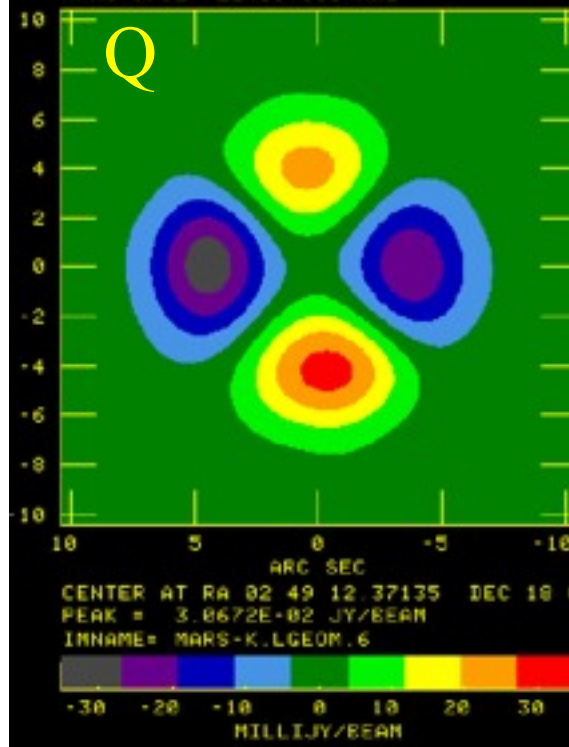
Rotação Faraday

- Ver, p.ex., "Cluster Magnetic Fields" por Carilli & Taylor 2002 (ARAA)



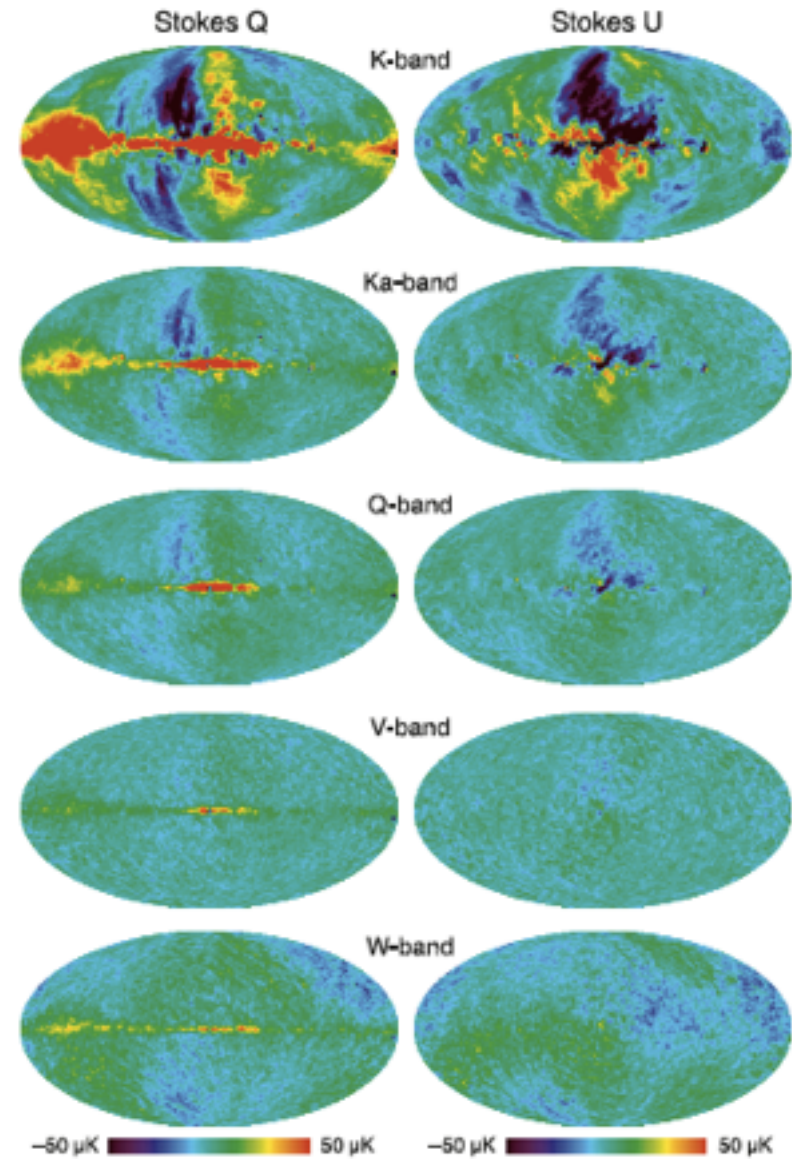
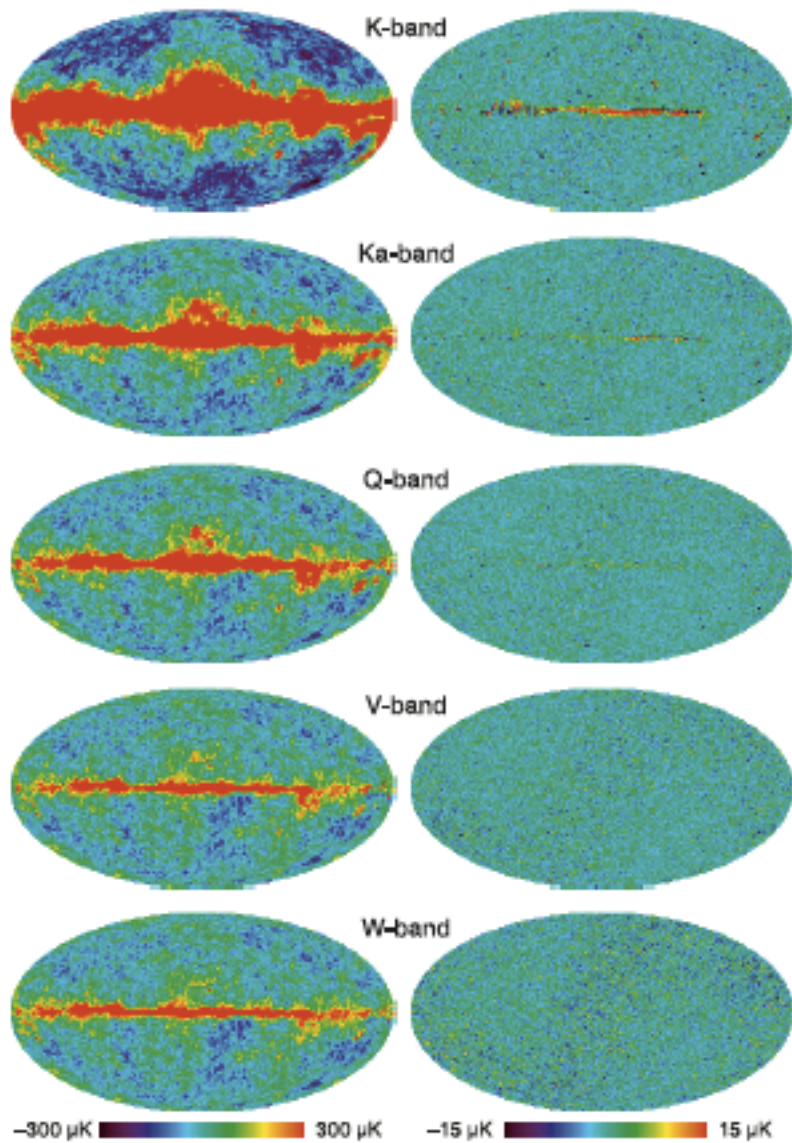
Emissão térmica de Marte

- Marte emite como um corpo negro na faixa rádio
- Imagens I, Q, U, P de dados de Jan 2006 em 23.4 GHz.
- V não aparece - RUÍDO
- Resolução é de 3.5", o diâmetro de Marte é ~6".
- Das imagens Q e U, é possível deduzir que a polarização é radial, em torno do limbo.
- Ângulo de posição não é visto de forma útil em cor.

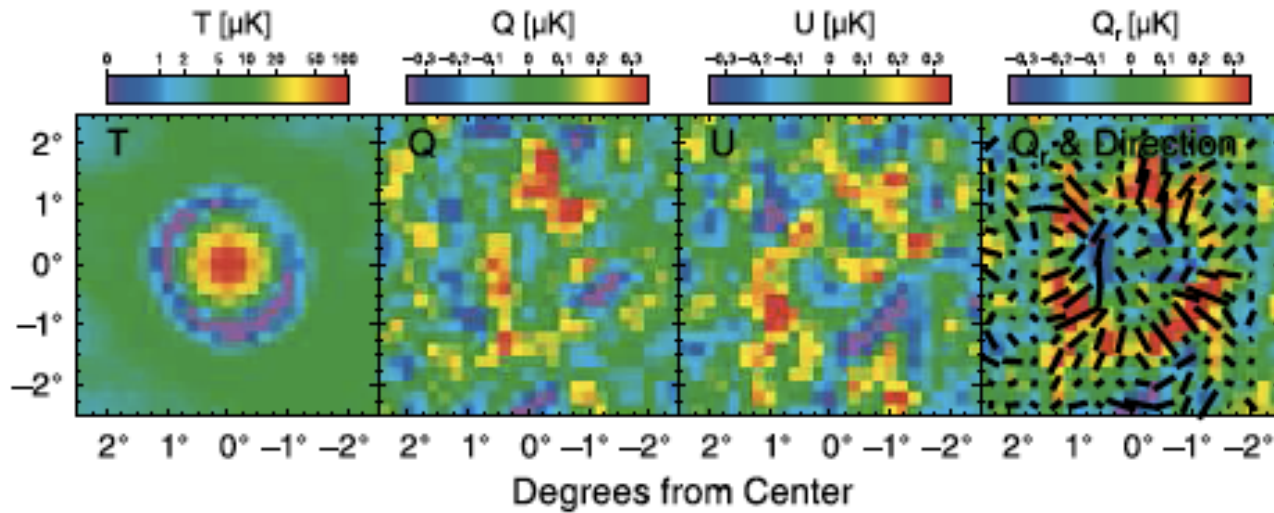


Emissão polarizada da RCFM - satélite WMAP

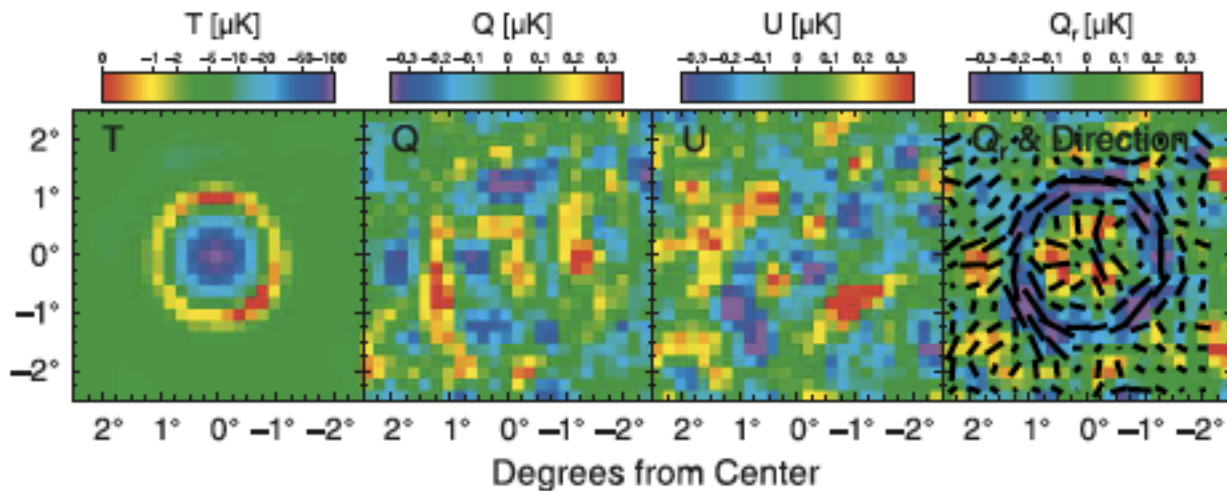
(Jarosik et al. 2010)



Emissão polarizada da RCFM - satélite WMAP (Komatsu et al. 2010)



Mancha quente



Mancha fria



Vetor de Jones

- Toda a informação de um estado 100% polarizado é fornecida pela amplitude e fase das oscilações no plano de polarização. Representação conveniente na forma do vetor de Jones.

$$e = \begin{bmatrix} a_1 e^{i\theta_1} \\ a_2 e^{i\theta_2} \end{bmatrix} \quad \text{eq. 1}$$

- a_1 e a_2 são as amplitudes (2 componentes do vetor campo elétrico), θ_1 e θ_2 são as fases complexas.
- No caso de radiação parcialmente polarizada (praticamente 100% dos casos em astronomia), o vetor de Jones varia no espaço e no tempo - taxa de rotação não é constante (caso monocromático)



Matriz de coerência

- Usada na determinação dos campos de ondas não monocromáticas, onde somente informações "estatísticas" das variações e correlações entre as componentes do campo pode ser obtida.

$$\begin{aligned}\Psi &= \langle \mathbf{e} \mathbf{e}^\dagger \rangle \\ &= \left\langle \begin{bmatrix} e_1 e_1^* & e_1 e_2^* \\ e_2 e_1^* & e_2 e_2^* \end{bmatrix} \right\rangle \\ &= \left\langle \begin{bmatrix} a_1^2 & a_1 a_2 e^{i(\theta_1 - \theta_2)} \\ a_1 a_2 e^{-i(\theta_1 - \theta_2)} & a_2^2 \end{bmatrix} \right\rangle\end{aligned}$$

eq. 2



Matriz de coerência

- Contém toda a informação que pode ser obtida sobre a polarização via estatística de segunda ordem
- Pode ser decomposta na soma de 2 matrizes idempotentes, correspondendo aos autovetores da matriz de coerência (estados de polarização ortogonais entre si)
- Alternativa: decomposição em estados completamente polarizados ($\det = 0$) e não-polarizados (matriz identidade) \Rightarrow grau de polarização
- A soma dos "casos" acima corresponde à superposição incoerente das ondas das duas componentes.



A elipse de polarização

Por convenção, consideramos o comportamento temporal de E em um plano perpendicular, do ponto de vista do observador

Para uma onda monocromática de frequência ν , temos

$$\vec{E} = (\hat{x}E_1 + \hat{y}E_2)e^{-i\omega t} \equiv E_0e^{-i\omega t} \begin{cases} E_1 = E_1 e^{i\phi_1} \\ E_2 = E_2 e^{i\phi_2} \end{cases} \quad \text{eq. 3}$$

Tomando a parte real de E , a componente física do campo elétrico ao longo das direções x e y é dada por:

$$\begin{aligned} E_x &= E_1 \cos(\omega t - \phi_1) \\ E_y &= E_2 \cos(\omega t - \phi_2) \end{aligned} \quad \text{eq. 4}$$



A elipse de polarização

Por convenção, consideramos o comportamento temporal de E em um plano perpendicular, do ponto de vista do observador

Para uma onda monocromática de frequência ν , temos

$$\vec{E} = (\hat{x}E_1 + \hat{y}E_2)e^{-i\omega t} \equiv E_0e^{-i\omega t} \begin{cases} E_1 = E_1 e^{i\phi_1} \\ E_2 = E_2 e^{i\phi_2} \end{cases} \quad \text{eq. 3}$$

amplitudes complexas

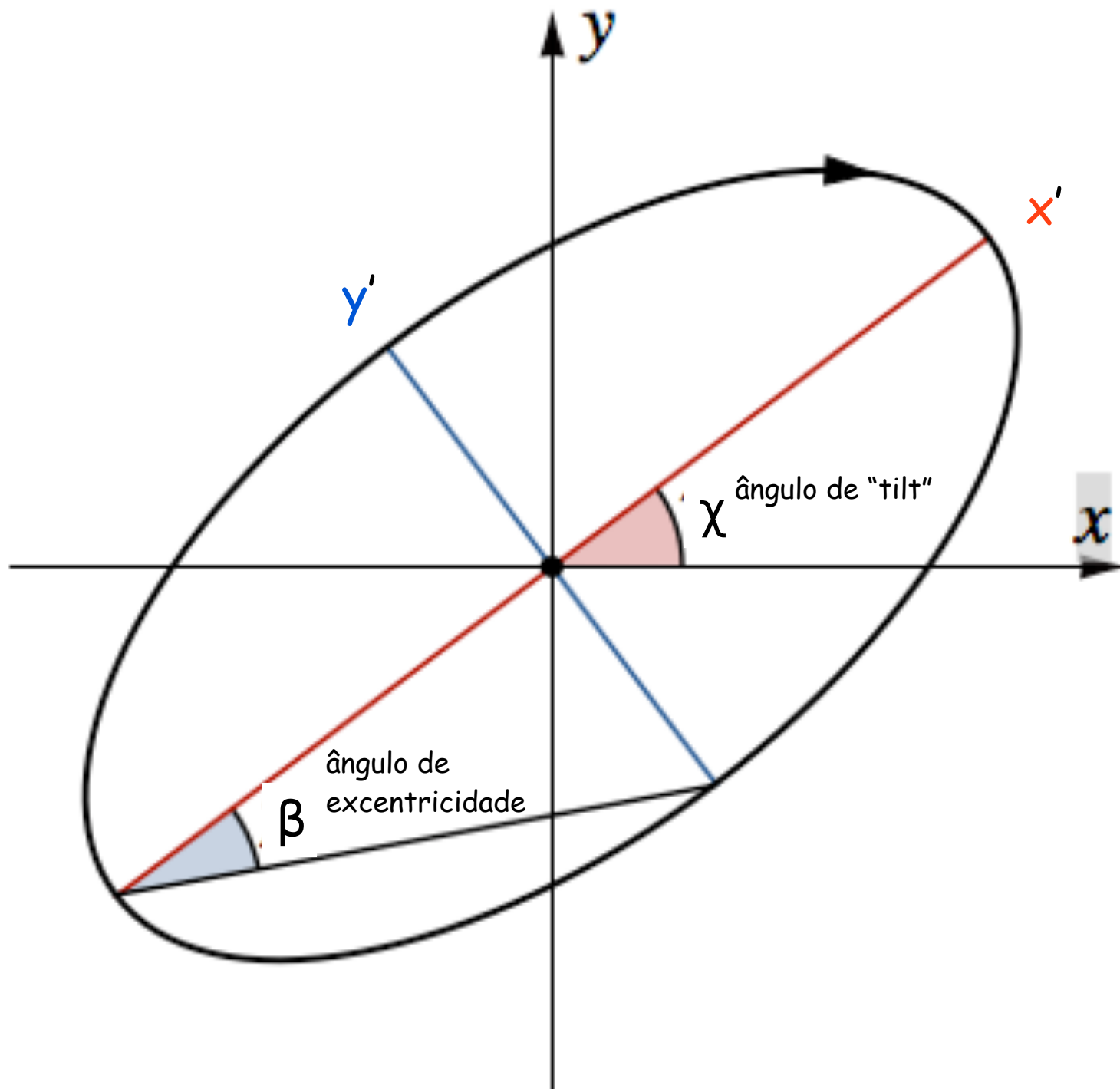
Tomando a parte real de E , a componente física do campo elétrico ao longo das direções x e y é dada por:

$$\begin{aligned} E_x &= E_1 \cos(\omega t - \phi_1) \\ E_y &= E_2 \cos(\omega t - \phi_2) \end{aligned} \quad \text{eq. 4}$$

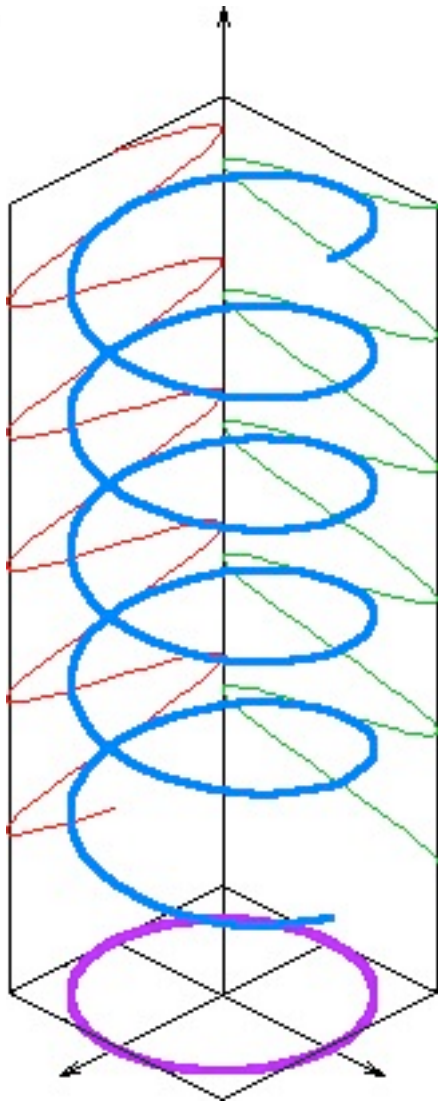


A elipse de polarização

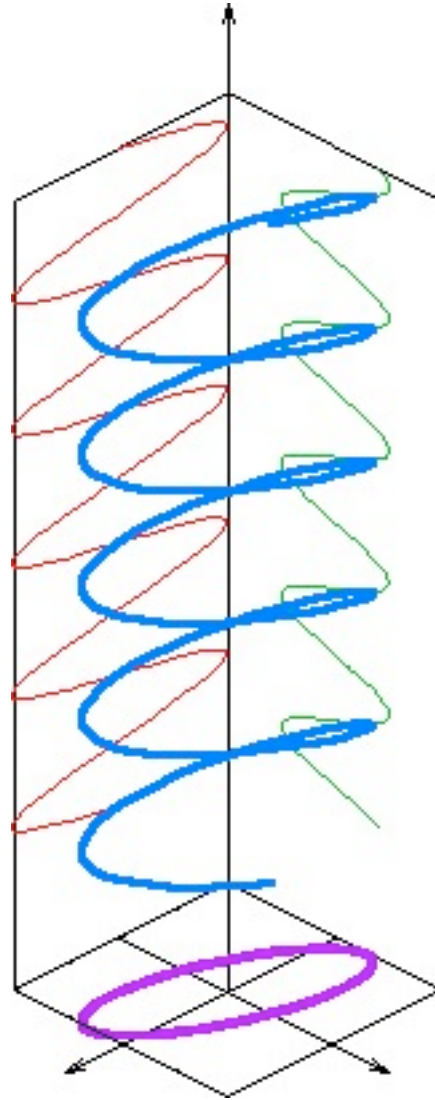
- Essas eqs. definem uma elipse no plano x - y , completamente descrita por 3 parâmetros: E_x , E_y e a diferença de fase $\delta = \varphi_1 - \varphi_2$.
- A eq. da elipse é definida em relação aos eixos x' e y' , defasados de x , y por um ângulo χ .
- A onda é dita elipticamente polarizada, no sentido horário (polarizada à esquerda) ou anti-horário (polarizada à direita)
- Isso vem do traçado horário ou anti-horário da rotação do vetor campo elétrico



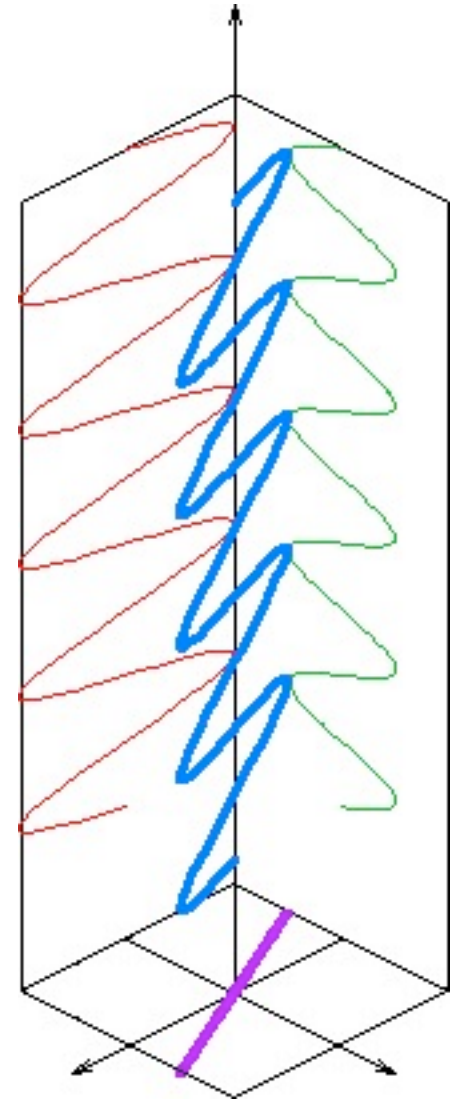
Elíptica: caso geral



Circular: $\beta = \pm\pi/4$



Linear: $\beta = 0, \pm\pi/2$



Conexão entre os ângulos da elipse

$$E'_x = E_0 \cos\beta \cos(\omega t)$$

$$E'_y = -E_0 \sin\beta \cos(\omega t)$$

eq. 5

$$\text{com } -\pi/2 \leq \beta \leq \pi/2$$

e magnitudes dos eixos principais dadas por

$$E_0 |\cos\beta|$$

$$E_0 |\sin\beta|$$

A relação entre os eixos x, y e x', y' (que definem os eixos principais da elipse) é feita através da decomposição do campo elétrico nos eixos x, y e da rotação de um ângulo χ

$$E_x = E_0 (\cos\beta \cos\chi \cos\omega t + \sin\beta \sin\chi \sin\omega t)$$

$$E_y = E_0 (\cos\beta \sin\chi \cos\omega t - \sin\beta \cos\chi \sin\omega t)$$

eq. 6



Chegando nos parâmetros de Stokes

Combinando as eqs. 6 e 4,
temos:

$$E_1 \cos \phi_1 = E_0 \cos \beta \cos \chi$$

$$E_1 \sin \phi_1 = E_0 \sin \beta \sin \chi$$

$$E_2 \cos \phi_2 = E_0 \cos \beta \sin \chi$$

$$E_2 \sin \phi_2 = -E_0 \sin \beta \cos \chi$$

eq. 7

Dados E e ϕ , podemos resolver as eqs. 7 para E_0 , β e χ . Isso é feito mais facilmente definindo, para uma onda monocromática:

$$I \equiv E_1^2 + E_2^2 = E_0^2$$

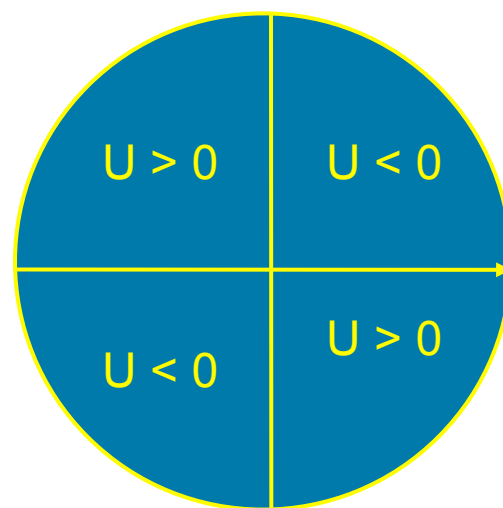
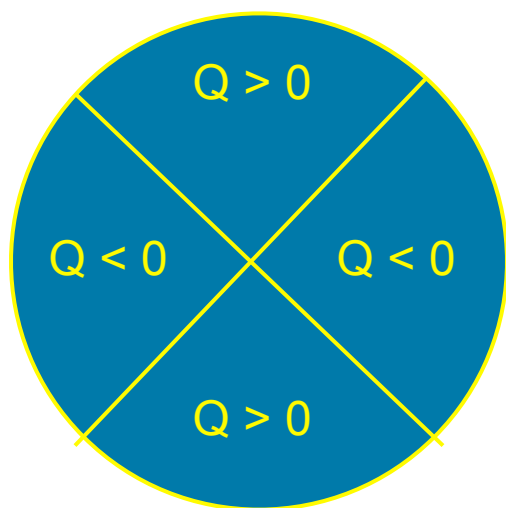
$$Q \equiv E_1^2 - E_2^2 = E_0^2 \cos(2\beta) \cos(2\chi)$$

$$U \equiv 2E_1^2 \cdot E_2^2 \cos(\phi_1 - \phi_2) = E_0^2 \cos(2\beta) \sin(2\chi) \quad \text{eq. 8}$$

$$V \equiv 2E_1^2 \cdot E_2^2 \sin(\phi_1 - \phi_2) = E_0^2 \sin(2\beta)$$

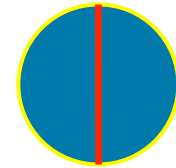
Parâmetros de Stokes

- Fluxo linearmente polarizado: $p = (Q^2 + U^2)^{1/2}$
- Q e U definem o plano de polarização: $\tan(2\psi) = Q/U$
- Os sinais de Q e U definem a orientação do plano de polarização

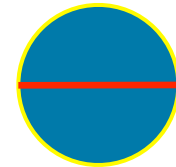


Exemplos simples...

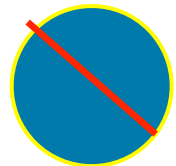
● $U = 0$, Q positivo, onda verticalmente polarizada



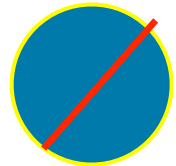
● $U = 0$, Q negativo, onda horizontalmente polarizada



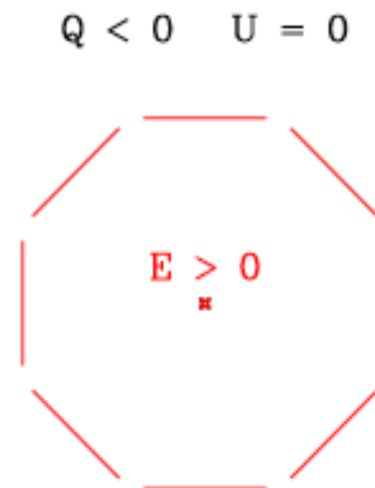
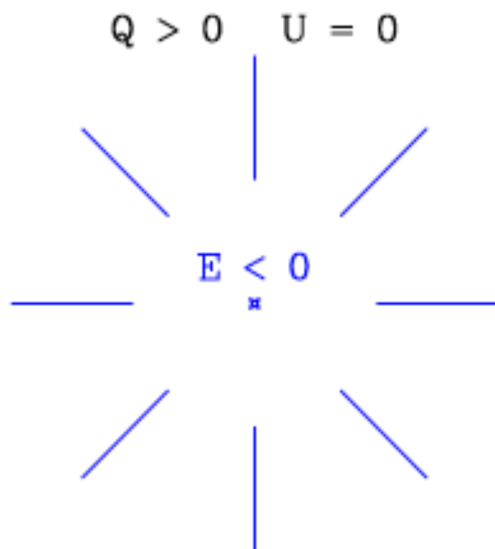
● $Q = 0$, U positivo, onda polarizada a 45 graus



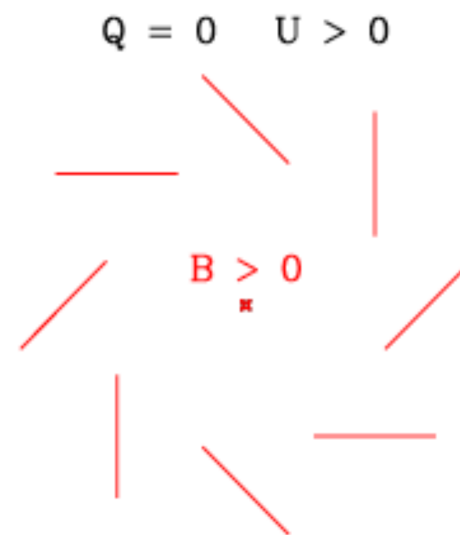
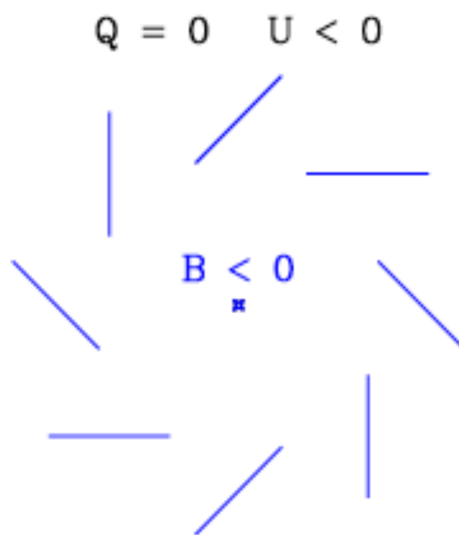
● $Q = 0$, U negativo, onda polarizada a -45 graus



- O modo E é invariante sob paridade



- O modo B muda de sinal sob paridade



Parâmetros de Stokes

● Por que usá-los?

- Tradição....
- Possuem unidade de potência...
- Relacionados de forma simples com as medidas reais nas antenas
- Acomodam facilmente a noção de polarização parcial de sinais não-monocromáticos
- Imagens dos parâmetros I, Q, U e V podem ser combinadas para produzir imagens das características lineares, circulares ou elípticas da radiação.



Radiação não monocromática e polarização parcial

- Radiação monocromática é um MITO!
- Um observável desses NÃO PODE existir (embora possa ser bem aproximado)
- Na vida real, radiação possui uma banda finita
- Processos astronômicos reais surgem de processos aleatórios causados por osciladores (em geral elétrons) emitindo de forma independente
- Observamos o campo elétrico resultante, usando instrumentos de banda finita
- Apesar do caos, polarização pode ser claramente observada, mas não de forma completa. Polarização parcial é a regra.
- Os parâmetros de Stokes, nesse caso, são definidos por valores médios.

Polarização de uma antena

- Para se estudar polarimetria (medir o estado de polarização de uma onda EM), a antena utilizada deve possuir duas saídas que respondem de forma diferente à ondas elipticamente polarizadas
- É conveniente que essas saídas sejam proporcionais a um dos dois casos:
 - às duas componentes lineares ortogonais cartesianas (E_x , E_y) ou
 - às duas polarizações circulares E_L , E_R .
- Infelizmente, em geral isso não acontece!
- Em geral, cada onda é elipticamente polarizada, com sua própria elipse de polarização
- Entretanto, desde que elas sejam diferentes, em princípio é possível estudar a polarização da onda.

Ondas quase-monocromáticas

- Na prática, vemos superposição de diferentes componentes, cada uma com sua polarização. Assim, pode haver radiação não-polarizada, mas não há radiação 100% polarizada.
- Caso de interesse: onda quase monocromática
 - Variação lenta de ϕ ou E com o tempo
 - Onda 100% polarizada, com polarização claramente definida num intervalo curto ($1/\omega$)
 - Em intervalos $\Delta t \gg 1/\omega$, o estado de polarização varia bastante, deixando de ser "monocromática"
 - $\Delta t \rightarrow$ tempo de coerência; $\Delta\omega \rightarrow$ largura de banda

Ondas quase-monocromáticas

- Medidas diretas de ϕ ou E são difíceis de serem realizadas; em geral mede-se uma média temporal (integração) do quadrado do campo elétrico (fluxo de energia elétrica)
- Separação da onda incidente em componentes independentes:
 - Em rádio: antenas de dipolo e linhas de atraso
 - No óptico: filtros polarizadores e placas de 1/4 onda
- Solução geral dada por

$$E'_1 = \lambda_{11}E_1 + \lambda_{12}E_2$$

$$E'_2 = \lambda_{21}E_1 + \lambda_{22}E_2$$

$\lambda_{ij} \rightarrow$ Constantes complexas dependentes do equipamento de medida

eq. 9



Parâmetros de Stokes

Em termos gerais, para uma onda não monocromática...

$$\begin{aligned} I &\equiv \langle E_1^2 + E_2^2 \rangle = \langle E_L^2 + E_R^2 \rangle = \langle E_0^2 \rangle && \text{eq. 10} \\ Q &\equiv \langle E_1^2 - E_2^2 \rangle = \langle E_L^2 - E_R^2 \rangle = \langle E_0^2 \cos(2\beta) \cos(2\chi) \rangle \\ U &\equiv \langle 2E_1^2 \cdot E_2^2 \cos(\phi_1 - \phi_2) \rangle = \langle E_0^2 \cos(2\beta) \sin(2\chi) \rangle \\ V &\equiv \langle 2E_1^2 \cdot E_2^2 \sin(\phi_1 - \phi_2) \rangle = \langle E_0^2 \sin(2\beta) \rangle \end{aligned}$$

$$E_0 = \sqrt{I}$$

$$\sin 2\beta = V/I \quad \text{eq. 11}$$

$$\tan 2\chi = U/Q$$

$V = 0 \rightarrow$ polarização linear!!!

$U = Q = 0 \rightarrow$ polarização circular

• Sendo a média temporal dada por

$$\langle E_1 E_2^* \rangle = \frac{1}{T} \int_0^T E_1(t) E_2^*(t) dt \quad \text{eq. 12}$$

• Na prática, temos

- $I^2 \geq Q^2 + U^2 + V^2 \rightarrow$ onda polarizada não monocromática
- Igualdade vale para uma onda com completa polarização elíptica
- $Q^2 + U^2 + V^2 = 0 \rightarrow$ onda não polarizada

Ainda parâmetros de Stokes...

- Os parâmetros de Stokes são aditivos para uma superposição de ondas. Isso implica que, de uma maneira geral, podemos escrever

$$\begin{bmatrix} I \\ Q \\ U \\ V \end{bmatrix} = \begin{bmatrix} I - \sqrt{Q^2 + U^2 + V^2} \\ 0 \\ 0 \\ 0 \end{bmatrix} + \begin{bmatrix} \sqrt{Q^2 + U^2 + V^2} \\ Q \\ U \\ V \end{bmatrix} \quad \text{eq. 13}$$

Componente não-polarizada

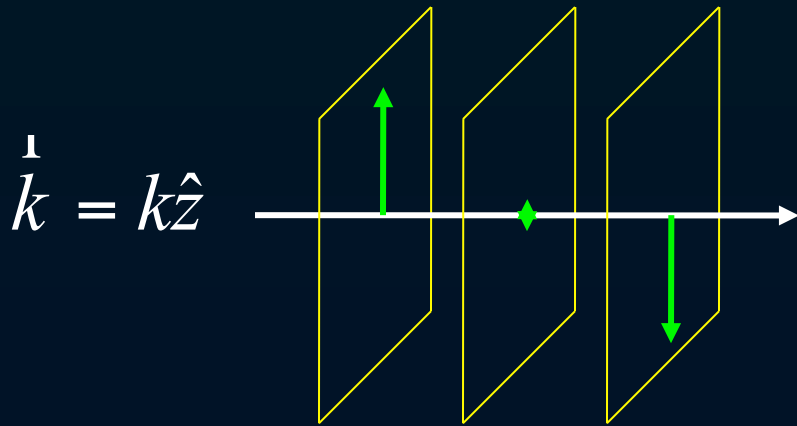
Componente polarizada

$$\Pi = \frac{I_{pol}}{I} = \frac{\sqrt{Q^2 + U^2 + V^2}}{I} \quad \longrightarrow \quad \text{Fração polarizada} \quad \text{eq. 14}$$



UM ESTUDO DE CASO:
A POLARIZAÇÃO DA
RADIAÇÃO CÓSMICA
DE FUNDO EM
MICROONDAS!

1. Polarização: PARA FIXAÇÃO

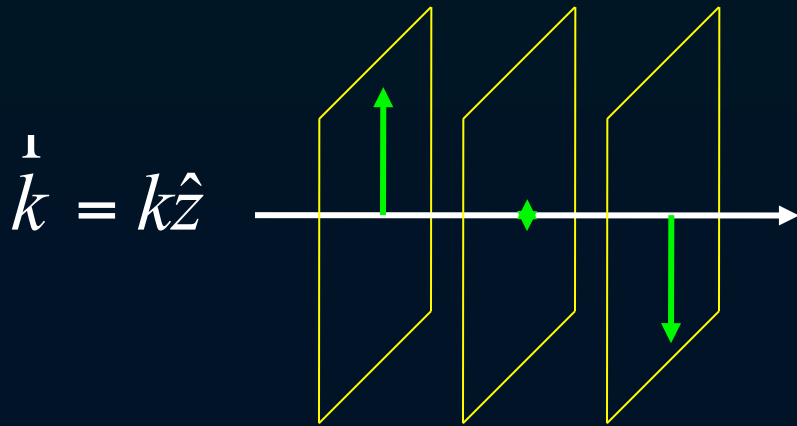


- Um **fóton individual** possui uma polarização linear fixa, que é determinada pela direção do campo elétrico:

$$\vec{E} = E_x \hat{i} + E_y \hat{j}$$

$$E_x = a_x \cos(\omega t) \quad E_y = a_y \cos(\omega t)$$

1. Polarização: PARA FIXAÇÃO



- Um **fóton individual** possui uma polarização linear fixa, que é determinada pela direção do campo elétrico:

$$\vec{E} = E_x \hat{i} + E_y \hat{j}$$

$$E_x = a_x \cos(\omega t) \quad E_y = a_y \cos(\omega t)$$

- Um campo de radiação genérico é um **estado multi-fótons** \rightarrow **mistura de estados de polarização linear**. Para um feixe que se propaga na direção z os **parâmetros de Stokes** são:

$$I = E_x^2 + E_y^2$$

$$E_x = a_x \cos(\omega t)$$

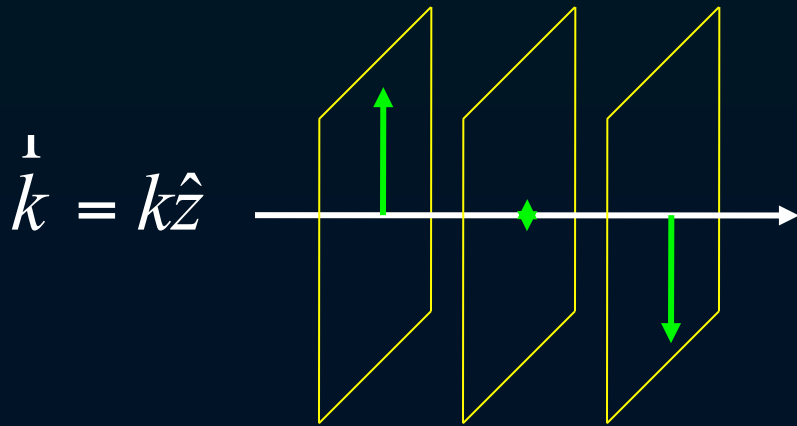
$$Q = E_x^2 - E_y^2$$

$$E_y = a_y \cos(\omega t + \psi)$$

$$U = 2E_x E_y \cos\psi$$

$$V = 2E_x E_y \sin\psi$$

1. Polarização: PARA FIXAÇÃO



- Um **fóton individual** possui uma polarização linear fixa, que é determinada pela direção do campo elétrico:

$$\vec{E} = E_x \hat{i} + E_y \hat{j}$$

$$E_x = a_x \cos(\omega t) \quad E_y = a_y \cos(\omega t)$$

- Um campo de radiação genérico é um **estado multi-fótons** → **mistura de estados de polarização linear**. Para um feixe que se propaga na direção z os **parâmetros de Stokes** são:

$$I = E_x^2 + E_y^2 \quad \rightarrow \text{Intensidade do feixe}$$

$$E_x = a_x \cos(\omega t)$$

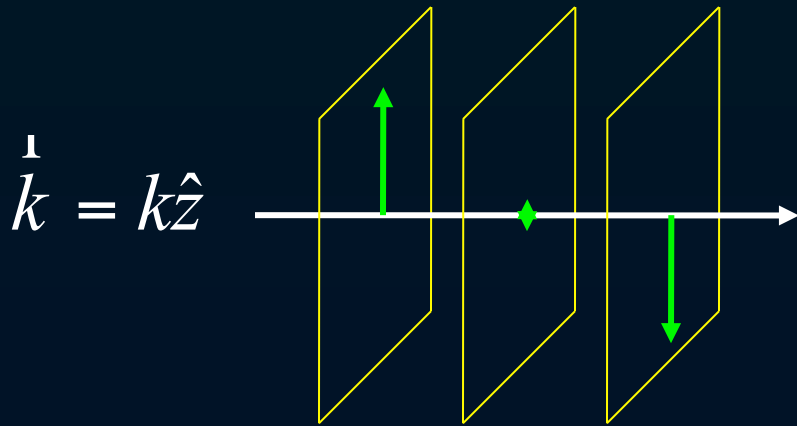
$$Q = E_x^2 - E_y^2$$

$$E_y = a_y \cos(\omega t + \psi)$$

$$U = 2E_x E_y \cos\psi$$

$$V = 2E_x E_y \sin\psi$$

1. Polarização: PARA FIXAÇÃO



- Um **fóton individual** possui uma polarização linear fixa, que é determinada pela direção do campo elétrico:

$$\vec{E} = E_x \hat{i} + E_y \hat{j}$$

$$E_x = a_x \cos(\omega t) \quad E_y = a_y \cos(\omega t)$$

- Um campo de radiação genérico é um **estado multi-fótons** → **mistura de estados de polarização linear**. Para um feixe que se propaga na direção z os **parâmetros de Stokes** são:

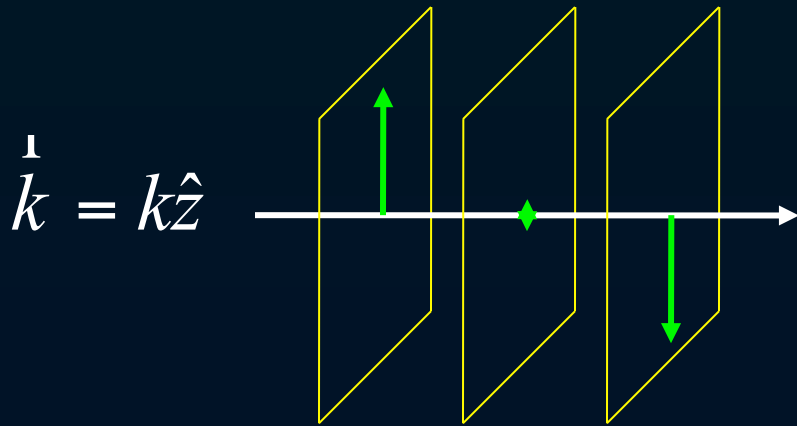
$$I = E_x^2 + E_y^2 \quad \rightarrow \text{Intensidade do feixe}$$

$$E_x = a_x \cos(\omega t) \quad Q = E_x^2 - E_y^2 \quad \rightarrow \text{Polarização } - - |$$

$$E_y = a_y \cos(\omega t + \psi) \quad U = 2E_x E_y \cos\psi$$

$$V = 2E_x E_y \sin\psi$$

1. Polarização: PARA FIXAÇÃO



- Um **fóton individual** possui uma polarização linear fixa, que é determinada pela direção do campo elétrico:

$$\vec{E} = E_x \hat{i} + E_y \hat{j}$$

$$E_x = a_x \cos(\omega t) \quad E_y = a_y \cos(\omega t)$$

- Um campo de radiação genérico é um **estado multi-fótons** → **mistura de estados de polarização linear**. Para um feixe que se propaga na direção z os **parâmetros de Stokes** são:

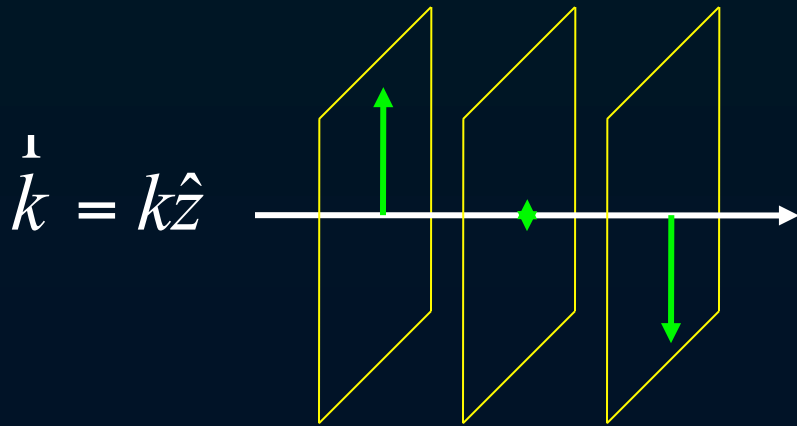
$$I = E_x^2 + E_y^2 \quad \rightarrow \text{Intensidade do feixe}$$

$$E_x = a_x \cos(\omega t) \quad Q = E_x^2 - E_y^2 \quad \rightarrow \text{Polarização } - - |$$

$$E_y = a_y \cos(\omega t + \psi) \quad U = 2E_x E_y \cos\psi \quad \rightarrow \text{Polarização } / - \backslash$$

$$V = 2E_x E_y \sin\psi$$

1. Polarização: PARA FIXAÇÃO



- Um **fóton individual** possui uma polarização linear fixa, que é determinada pela direção do campo elétrico:

$$\vec{E} = E_x \hat{i} + E_y \hat{j}$$

$$E_x = a_x \cos(\omega t) \quad E_y = a_y \cos(\omega t)$$

- Um campo de radiação genérico é um **estado multi-fótons** → **mistura de estados de polarização linear**. Para um feixe que se propaga na direção z os **parâmetros de Stokes** são:

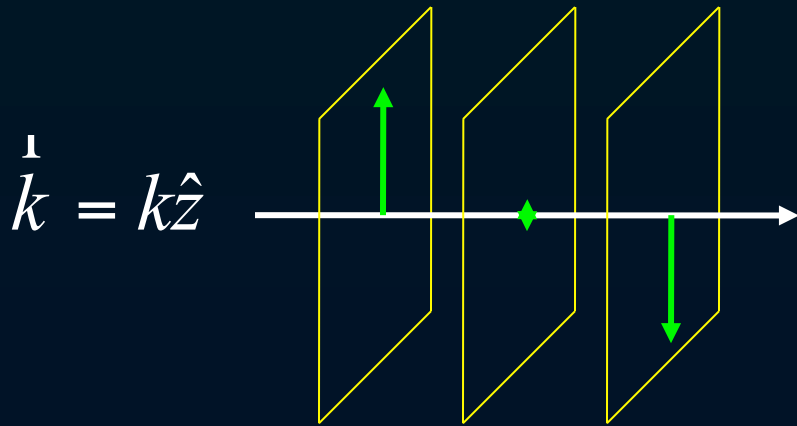
$$I = E_x^2 + E_y^2 \quad \rightarrow \text{Intensidade do feixe}$$

$$E_x = a_x \cos(\omega t) \quad Q = E_x^2 - E_y^2 \quad \rightarrow \text{Polarização } - - |$$

$$E_y = a_y \cos(\omega t + \psi) \quad U = 2E_x E_y \cos \psi \quad \rightarrow \text{Polarização } / - \backslash$$

$$V = 2E_x E_y \sin \psi \quad \rightarrow \text{Polarização circular}$$

1. Polarização: PARA FIXAÇÃO



- Um **fóton individual** possui uma polarização linear fixa, que é determinada pela direção do campo elétrico:

$$\vec{E} = E_x \hat{i} + E_y \hat{j}$$

$$E_x = a_x \cos(\omega t) \quad E_y = a_y \cos(\omega t)$$

- Um campo de radiação genérico é um **estado multi-fótons** → **mistura de estados de polarização linear**. Para um feixe que se propaga na direção z os **parâmetros de Stokes** são:

$$I = E_x^2 + E_y^2 \quad \rightarrow \text{Intensidade do feixe}$$

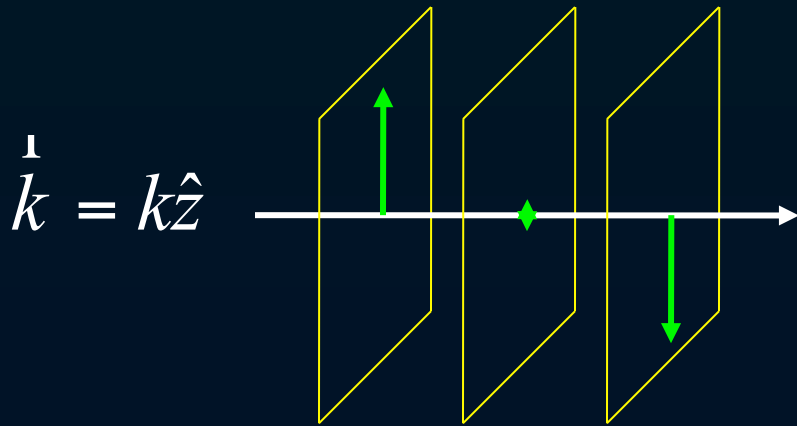
$$E_x = a_x \cos(\omega t) \quad Q = E_x^2 - E_y^2 \quad \rightarrow \text{Polarização } - - |$$

$$E_y = a_y \cos(\omega t + \psi) \quad U = 2E_x E_y \cos \psi \quad \rightarrow \text{Polarização } / - \backslash$$

$$V = 2E_x E_y \sin \psi \quad \rightarrow \text{Polarização circular}$$

$$I^2 \geq Q^2 + U^2 + V^2$$

1. Polarização: PARA FIXAÇÃO



- Um **fóton individual** possui uma polarização linear fixa, que é determinada pela direção do campo elétrico:

$$\vec{E} = E_x \hat{i} + E_y \hat{j}$$

$$E_x = a_x \cos(\omega t) \quad E_y = a_y \cos(\omega t)$$

- Um campo de radiação genérico é um **estado multi-fótons** \rightarrow **mistura de estados de polarização linear**. Para um feixe que se propaga na direção z os **parâmetros de Stokes** são:

$$I = E_x^2 + E_y^2 \quad \rightarrow \text{Intensidade do feixe}$$

$$E_x = a_x \cos(\omega t) \quad Q = E_x^2 - E_y^2 \quad \rightarrow \text{Polarização } - - |$$

$$E_y = a_y \cos(\omega t + \psi) \quad U = 2E_x E_y \cos \psi \quad \rightarrow \text{Polarização } / - \backslash$$

$$V = 2E_x E_y \sin \psi \quad \rightarrow \text{Polarização circular}$$

$$I^2 \geq Q^2 + U^2 + V^2 \quad (= \text{p/ onda monocromática})$$

- Os estados de polarização são análogos aos estados com **dois graus de liberdade** (E_x e E_y) em mecânica quântica → base natural são as **matrizes de Pauli**. De fato, a matriz densidade de estados da polarização é:

$$\rho = \frac{1}{2}(I \mathbb{1} + U\sigma_1 + V\sigma_2 + Q\sigma_3) = \frac{1}{2} \begin{pmatrix} I+Q & U-iV \\ U+iV & I-Q \end{pmatrix}$$

- Os estados de polarização são análogos aos estados com **dois graus de liberdade** (E_x e E_y) em mecânica quântica → base natural são as **matrizes de Pauli**. De fato, a matriz densidade de estados da polarização é:

$$\rho = \frac{1}{2}(I \mathbb{1} + U\sigma_1 + V\sigma_2 + Q\sigma_3) = \frac{1}{2} \begin{pmatrix} I+Q & U-iV \\ U+iV & I-Q \end{pmatrix}$$

Polarizações excitadas na RCF

- Os estados de polarização são análogos aos estados com **dois graus de liberdade** (E_x e E_y) em mecânica quântica → base natural são as **matrizes de Pauli**. De fato, a matriz densidade de estados da polarização é:

$$\rho = \frac{1}{2}(I \mathbb{1} + U\sigma_1 + \cancel{V}\sigma_2 + Q\sigma_3) = \frac{1}{2} \begin{pmatrix} I+Q & U-iV \\ U+iV & I-Q \end{pmatrix}$$

Polarizações excitadas na RCF

- Os estados de polarização são análogos aos estados com **dois graus de liberdade** (E_x e E_y) em mecânica quântica → base natural são as **matrizes de Pauli**. De fato, a matriz densidade de estados da polarização é:

$$\rho = \frac{1}{2}(I \mathbb{1} + U\sigma_1 + \cancel{V}\sigma_2 + Q\sigma_3) = \frac{1}{2} \begin{pmatrix} I+Q & U-iV \\ U+iV & I-Q \end{pmatrix}$$



Polarizações excitadas na RCF

- Orientação dos modos **Q** (N-S, L-O) e **U** (Se-No, So-Ne):

z: 

- Os estados de polarização são análogos aos estados com **dois graus de liberdade** (E_x e E_y) em mecânica quântica → base natural são as **matrizes de Pauli**. De fato, a matriz densidade de estados da polarização é:

$$\rho = \frac{1}{2}(I \times \mathbb{1} + U\sigma_1 + \cancel{V}\sigma_2 + Q\sigma_3) = \frac{1}{2} \begin{pmatrix} I+Q & U-iV \\ U+iV & I-Q \end{pmatrix}$$



Polarizações excitadas na RCF

- Orientação dos modos **Q** (N-S, L-O) e **U** (Se-No, So-Ne):



- Os estados de polarização são análogos aos estados com **dois graus de liberdade** (E_x e E_y) em mecânica quântica → base natural são as **matrizes de Pauli**. De fato, a matriz densidade de estados da polarização é:

$$\rho = \frac{1}{2}(I \mathbb{1} + U\sigma_1 + \cancel{V}\sigma_2 + Q\sigma_3) = \frac{1}{2} \begin{pmatrix} I+Q & U-iV \\ U+iV & I-Q \end{pmatrix}$$

Polarizações excitadas na RCF

- Orientação dos modos **Q** (N-S, L-O) e **U** (Se-No, So-Ne):

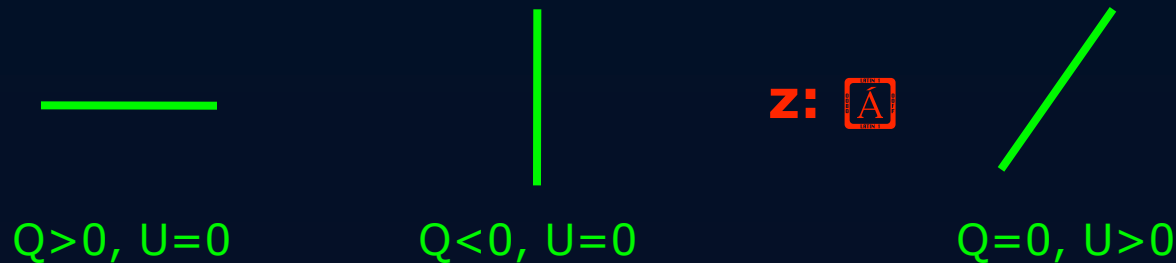


- Os estados de polarização são análogos aos estados com **dois graus de liberdade** (E_x e E_y) em mecânica quântica → base natural são as **matrizes de Pauli**. De fato, a matriz densidade de estados da polarização é:

$$\rho = \frac{1}{2}(I \times 1 + U\sigma_1 + \cancel{V}\sigma_2 + Q\sigma_3) = \frac{1}{2} \begin{pmatrix} I+Q & U-iV \\ U+iV & I-Q \end{pmatrix}$$

Polarizações excitadas na RCF

- Orientação dos modos **Q** (N-S, L-O) e **U** (Se-No, So-Ne):



- Os estados de polarização são análogos aos estados com **dois graus de liberdade** (E_x e E_y) em mecânica quântica → base natural são as **matrizes de Pauli**. De fato, a matriz densidade de estados da polarização é:

$$\rho = \frac{1}{2}(I \mathbb{1} + U\sigma_1 + \cancel{V}\sigma_2 + Q\sigma_3) = \frac{1}{2} \begin{pmatrix} I+Q & U-iV \\ U+iV & I-Q \end{pmatrix}$$

Polarizações excitadas na RCF

- Orientação dos modos **Q** (N-S, L-O) e **U** (Se-No, So-Ne):



- Os estados de polarização são análogos aos estados com **dois graus de liberdade** (E_x e E_y) em mecânica quântica → base natural são as **matrizes de Pauli**. De fato, a matriz densidade de estados da polarização é:

$$\rho = \frac{1}{2}(I \times \mathbb{1} + U\sigma_1 + \cancel{V}\sigma_2 + Q\sigma_3) = \frac{1}{2} \begin{pmatrix} I+Q & U-iV \\ U+iV & I-Q \end{pmatrix}$$

Polarizações excitadas na RCF

- Orientação dos modos \mathbf{Q} (N-S, L-O) e \mathbf{U} (Se-No, So-Ne):



- Note que os parâmetros de Stokes fazem referência explícita a um certo sistema de coordenadas, e portanto os **mapas de $\mathbf{Q}(\theta, \phi)$ e $\mathbf{U}(\theta, \phi)$** no céu **dependem da escolha do sistema de coordenadas!**
Sob rotação de φ em torno de z :

- Os estados de polarização são análogos aos estados com **dois graus de liberdade** (E_x e E_y) em mecânica quântica → base natural são as **matrizes de Pauli**. De fato, a matriz densidade de estados da polarização é:

$$\rho = \frac{1}{2}(I \times \mathbb{1} + U\sigma_1 + \cancel{V}\sigma_2 + Q\sigma_3) = \frac{1}{2} \begin{pmatrix} I+Q & U-iV \\ U+iV & I-Q \end{pmatrix}$$

Polarizações excitadas na RCF

- Orientação dos modos **Q** (N-S, L-O) e **U** (Se-No, So-Ne):



- Note que os parâmetros de Stokes fazem referência explícita a um certo sistema de coordenadas, e portanto os **mapas de $Q(\theta, \phi)$ e $U(\theta, \phi)$** no céu **dependem da escolha do sistema de coordenadas!**

Sob rotação de φ em torno de z:



$$Q' = Q \cos(2\varphi) + U \sin(2\varphi)$$

$$U' = -Q \sin(2\varphi) + U \cos(2\varphi)$$

2. Polarização da RCF

Bond & Efstathiou 1984, Polnarev 1985
Kosowski 1996, Seljak & Zaldarriaga 1997, Hu & White 1997
Cabella & Kamionkowski 2005, Y.-T. Li & B. Wandelt 2005

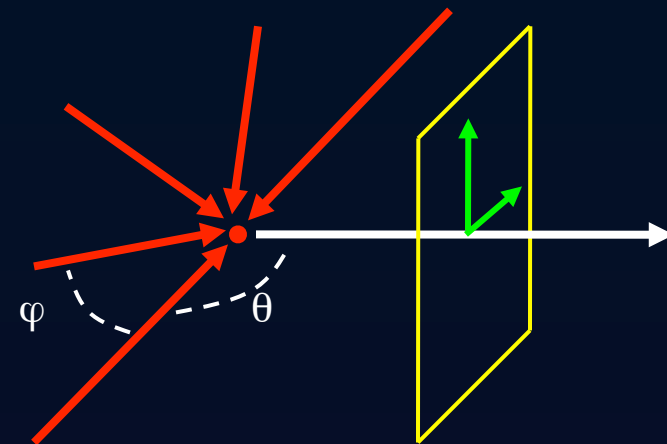
- Antes do desacoplamento ($z > 1100$), assumimos que a radiação era basicamente **não-polarizada** ($\langle I_i \rangle \neq 0$, $\langle Q_i \rangle = \langle U_i \rangle = \langle V_i \rangle = 0$).
- Na era do desacoplamento ($z \sim 1089$), **espalhamento Thomson** dos fótons da RCF pelos elétrons e íons livres gerou uma polarização da RCF.
- A seção de choque para um fóton incidente de polarização ε_i dando origem a um fóton espalhado com polarização ε_f é:

2. Polarização da RCF

Bond & Efstathiou 1984, Polnarev 1985
Kosowski 1996, Seljak & Zaldarriaga 1997, Hu & White 1997
Cabella & Kamionkowski 2005, Y.-T. Li & B. Wandelt 2005

- Antes do desacoplamento ($z > 1100$), assumimos que a radiação era basicamente **não-polarizada** ($\langle I_i \rangle \neq 0$, $\langle Q_i \rangle = \langle U_i \rangle = \langle V_i \rangle = 0$).
- Na era do desacoplamento ($z \sim 1089$), **espalhamento Thomson** dos fótons da RCF pelos elétrons e íons livres gerou uma polarização da RCF.
- A seção de choque para um fóton incidente de polarização ϵ_i dando origem a um fóton espalhado com polarização ϵ_f é:

$$\frac{d\sigma}{d\Omega} = \frac{3\sigma_T}{8\pi} \left| \hat{\epsilon}_i \times \hat{\epsilon}_j \right|^2 \quad \leftarrow \text{!!!}$$



2. Polarização da RCF

Bond & Efstathiou 1984, Polnarev 1985
Kosowski 1996, Seljak & Zaldarriaga 1997, Hu & White 1997
Cabella & Kamionkowski 2005, Y.-T. Li & B. Wandelt 2005

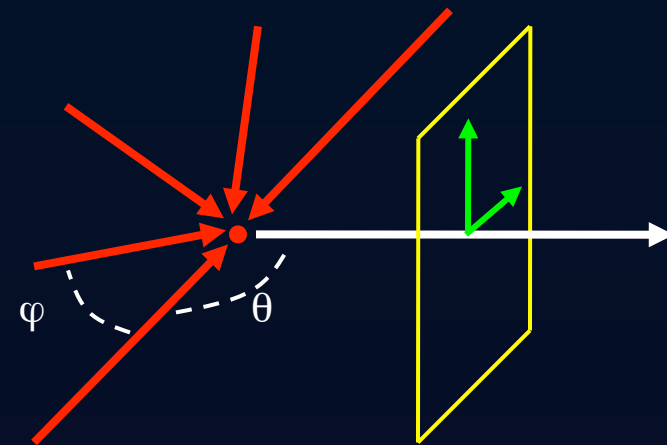
- Antes do desacoplamento ($z > 1100$), assumimos que a radiação era basicamente **não-polarizada** ($\langle I_i \rangle \neq 0$, $\langle Q_i \rangle = \langle U_i \rangle = \langle V_i \rangle = 0$).
- Na era do desacoplamento ($z \sim 1089$), **espalhamento Thomson** dos fótons da RCF pelos elétrons e íons livres gerou uma polarização da RCF.
- A seção de choque para um fóton incidente de polarização ϵ_i dando origem a um fóton espalhado com polarização ϵ_f é:

$$\frac{d\sigma}{d\Omega} = \frac{3\sigma_T}{8\pi} \left| \hat{\epsilon}_i \times \hat{\epsilon}_j \right|^2 \quad \leftarrow \text{!!!}$$

- O que leva à polarização do estado final:

$$Q_f(\hat{z}) = \frac{3\sigma_T}{16\pi} \int d\Omega \sin^2 \theta \cos(2\varphi) I_i(\theta, \varphi)$$

$$U_f(\hat{z}) = -\frac{3\sigma_T}{16\pi} \int d\Omega \sin^2 \theta \sin(2\varphi) I_i(\theta, \varphi)$$



2. Polarização da RCF

Bond & Efstathiou 1984, Polnarev 1985
Kosowski 1996, Seljak & Zaldarriaga 1997, Hu & White 1997
Cabella & Kamionkowski 2005, Y.-T. Li & B. Wandelt 2005

- Antes do desacoplamento ($z > 1100$), assumimos que a radiação era basicamente **não-polarizada** ($\langle I_i \rangle \neq 0$, $\langle Q_i \rangle = \langle U_i \rangle = \langle V_i \rangle = 0$).
- Na era do desacoplamento ($z \sim 1089$), **espalhamento Thomson** dos fótons da RCF pelos elétrons e íons livres gerou uma polarização da RCF.
- A seção de choque para um fóton incidente de polarização ϵ_i dando origem a um fóton espalhado com polarização ϵ_f é:

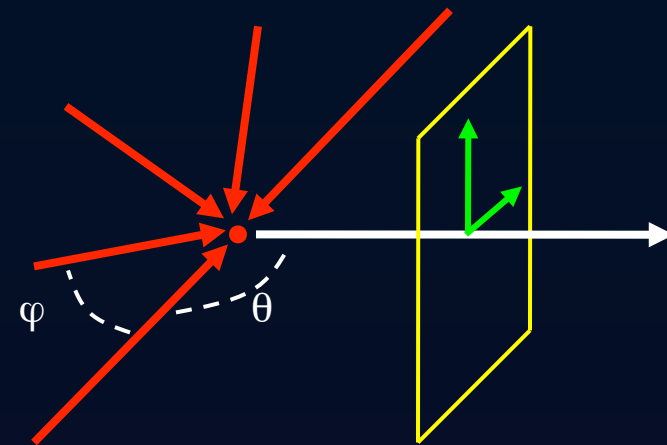
$$\frac{d\sigma}{d\Omega} = \frac{3\sigma_T}{8\pi} |\hat{\epsilon}_i \times \hat{\epsilon}_j|^2 \quad \leftarrow \text{!!!}$$

- O que leva à polarização do estado final:

$$Q_f(\hat{z}) = \frac{3\sigma_T}{16\pi} \int d\Omega \sin^2 \theta \cos(2\varphi) I_i(\theta, \varphi)$$

$$U_f(\hat{z}) = -\frac{3\sigma_T}{16\pi} \int d\Omega \sin^2 \theta \sin(2\varphi) I_i(\theta, \varphi)$$

$$\left. \begin{array}{l} Q - iU \sim \int d\Omega Y_{22}(\theta, \varphi) I(\theta, \varphi) \end{array} \right\}$$



2. Polarização da RCF

Bond & Efstathiou 1984, Polnarev 1985
Kosowski 1996, Seljak & Zaldarriaga 1997, Hu & White 1997
Cabella & Kamionkowski 2005, Y.-T. Li & B. Wandelt 2005

- Antes do desacoplamento ($z > 1100$), assumimos que a radiação era basicamente **não-polarizada** ($\langle I_i \rangle \neq 0$, $\langle Q_i \rangle = \langle U_i \rangle = \langle V_i \rangle = 0$).
- Na era do desacoplamento ($z \sim 1089$), **espalhamento Thomson** dos fótons da RCF pelos elétrons e íons livres gerou uma polarização da RCF.
- A seção de choque para um fóton incidente de polarização ϵ_i dando origem a um fóton espalhado com polarização ϵ_f é:

$$\frac{d\sigma}{d\Omega} = \frac{3\sigma_T}{8\pi} |\hat{\epsilon}_i \times \hat{\epsilon}_j|^2 \quad \leftarrow \text{!!!}$$

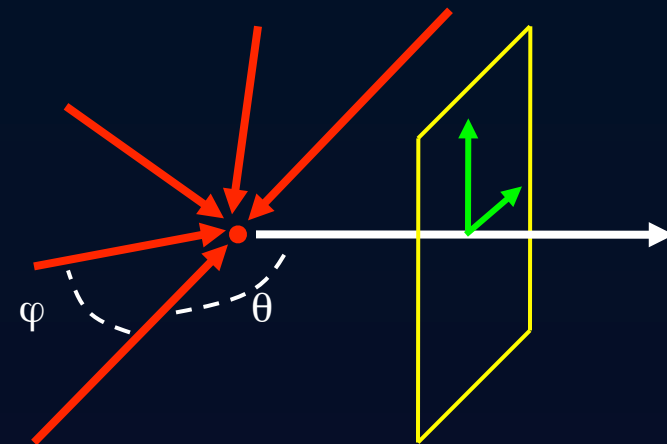
- O que leva à polarização do estado final:

$$Q_f(\hat{z}) = \frac{3\sigma_T}{16\pi} \int d\Omega \sin^2 \theta \cos(2\varphi) I_i(\theta, \varphi)$$

$$U_f(\hat{z}) = -\frac{3\sigma_T}{16\pi} \int d\Omega \sin^2 \theta \sin(2\varphi) I_i(\theta, \varphi)$$

$$\left. \begin{aligned} Q - iU &\sim \int d\Omega Y_{22}(\theta, \varphi) I(\theta, \varphi) \end{aligned} \right\}$$

→ Polarização depende do quadrupolo da radiação incidente!



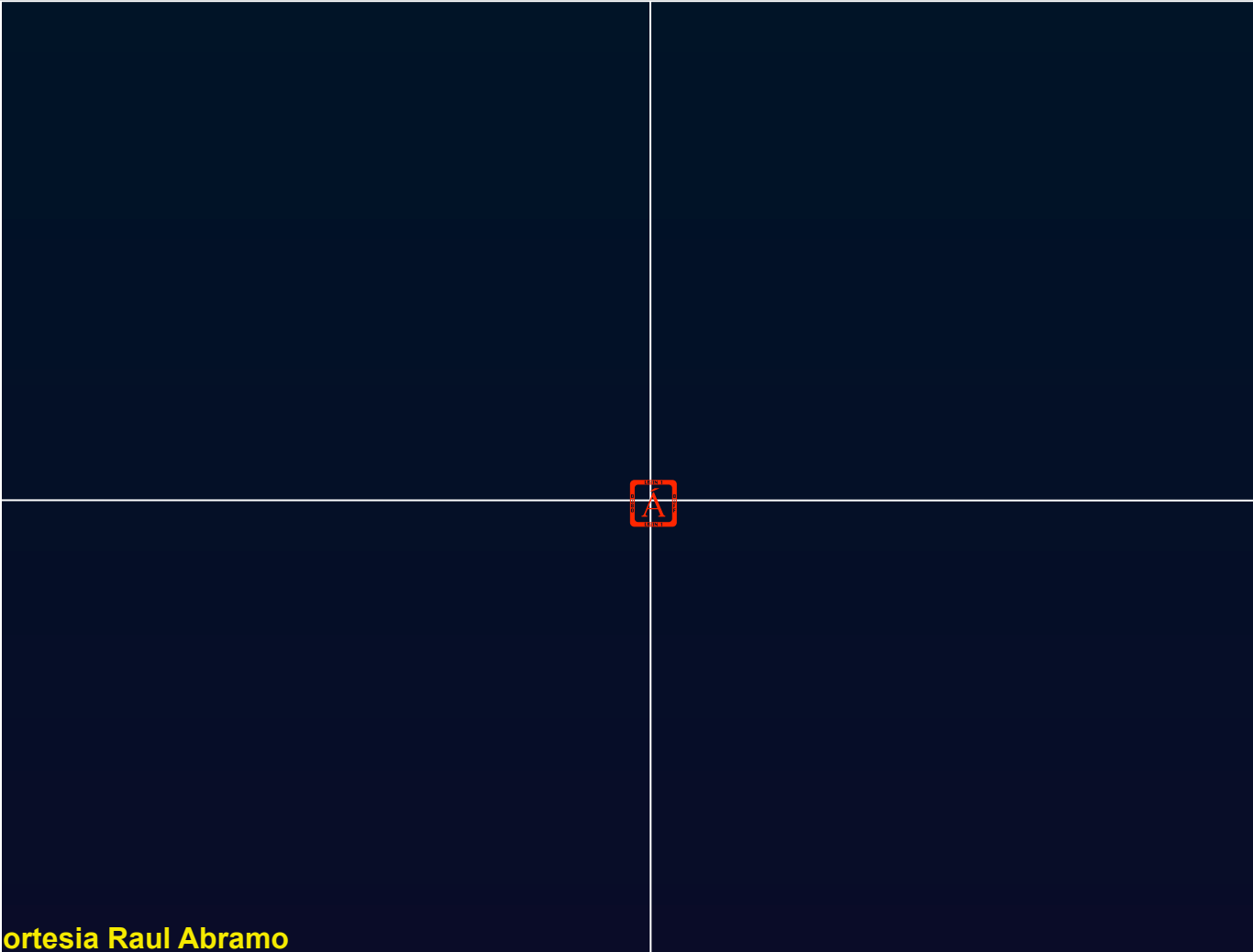
- É natural representar a polarização através da função complexa \mathbf{P} :

- É natural representar a polarização através da função complexa \mathbf{P} :

$$P = Q - iU = \frac{3\sigma_T}{4\pi} \sqrt{\frac{2\pi}{15}} a_{22} \quad , \quad I_i(\theta, \varphi) = \sum_{1m} a_{1m} Y_{1m}(\theta, \varphi)$$

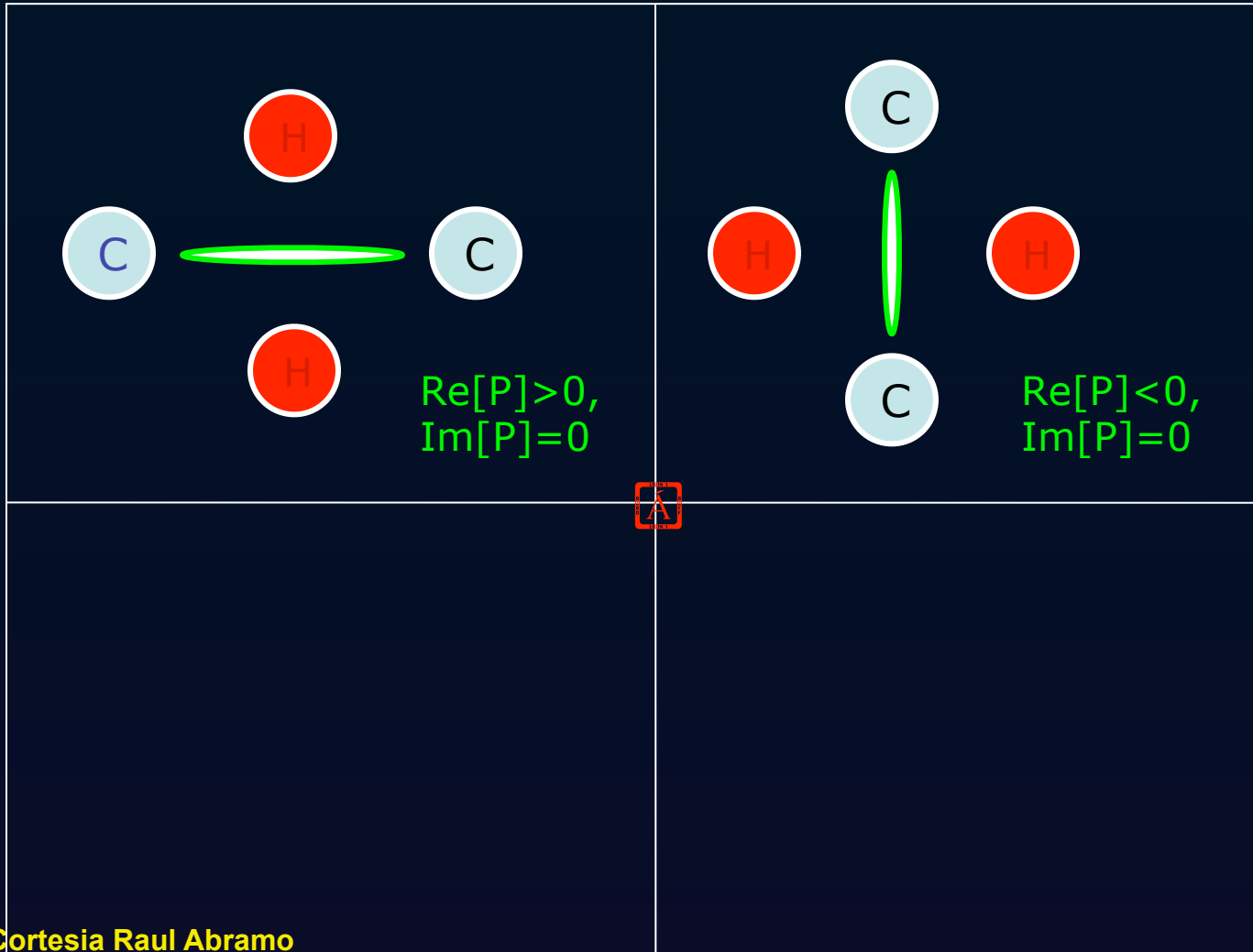
- É natural representar a polarização através da função complexa \mathbf{P} :

$$P = Q - iU = \frac{3\sigma_T}{4\pi} \sqrt{\frac{2\pi}{15}} a_{22} \quad , \quad I_i(\theta, \varphi) = \sum_{1m} a_{1m} Y_{1m}(\theta, \varphi)$$



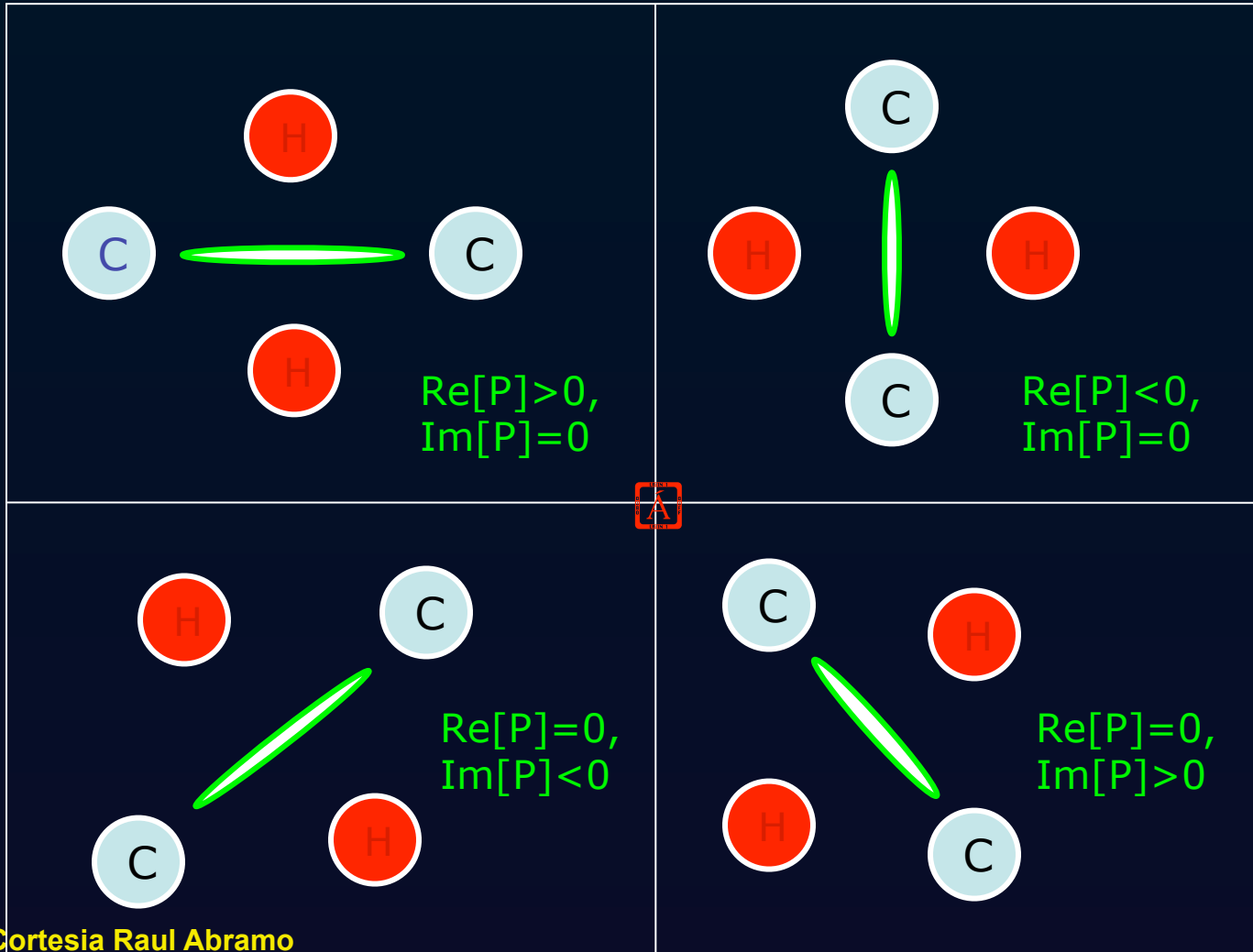
- É natural representar a polarização através da função complexa \mathbf{P} :

$$P = Q - iU = \frac{3\sigma_T}{4\pi} \sqrt{\frac{2\pi}{15}} a_{22} \quad , \quad I_i(\theta, \varphi) = \sum_{1m} a_{1m} Y_{1m}(\theta, \varphi)$$



- É natural representar a polarização através da função complexa \mathbf{P} :

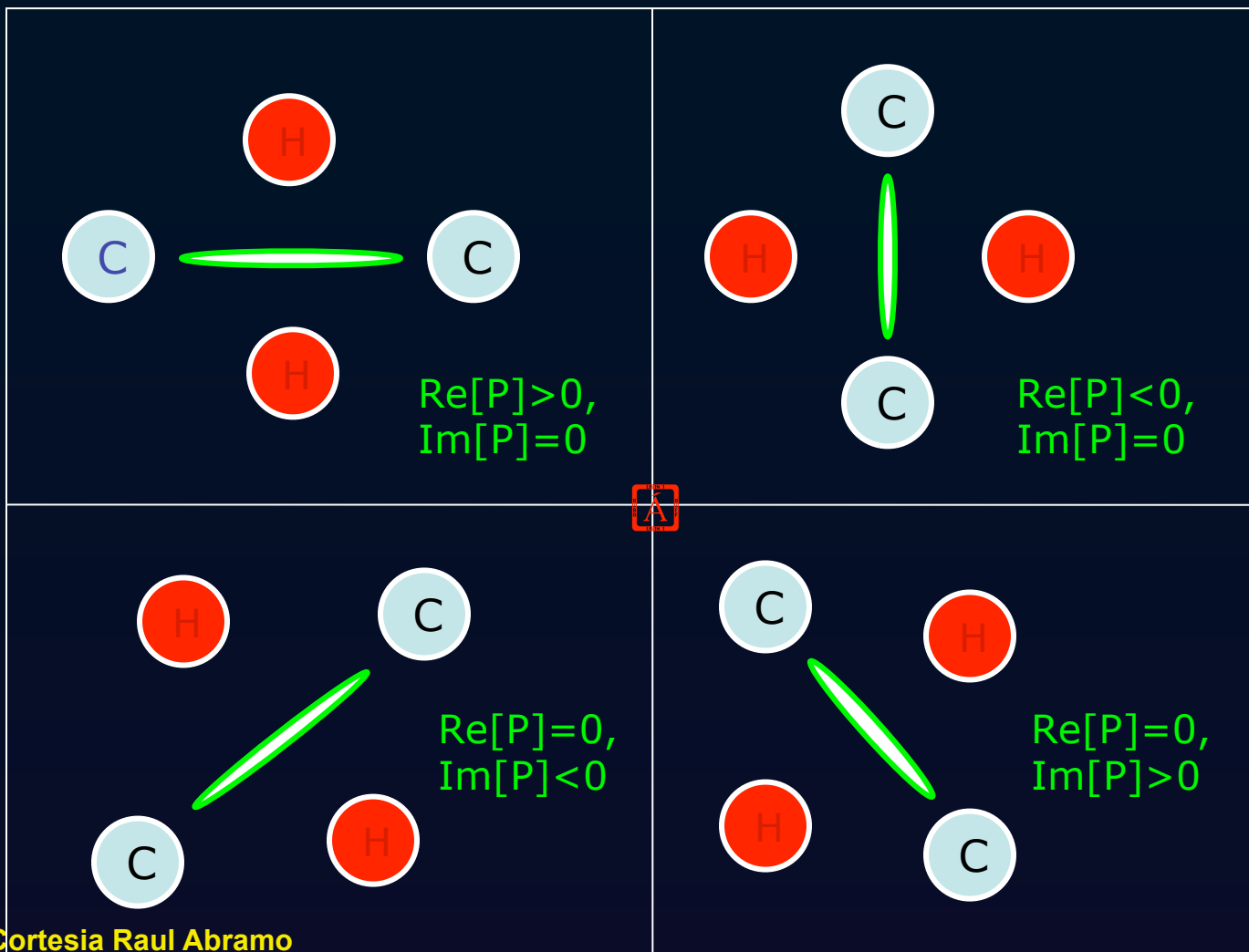
$$P = Q - iU = \frac{3\sigma_T}{4\pi} \sqrt{\frac{2\pi}{15}} a_{22} \quad , \quad I_i(\theta, \varphi) = \sum_{1m} a_{1m} Y_{1m}(\theta, \varphi)$$



Cortesia Raul Abramo

- É natural representar a polarização através da função complexa P :

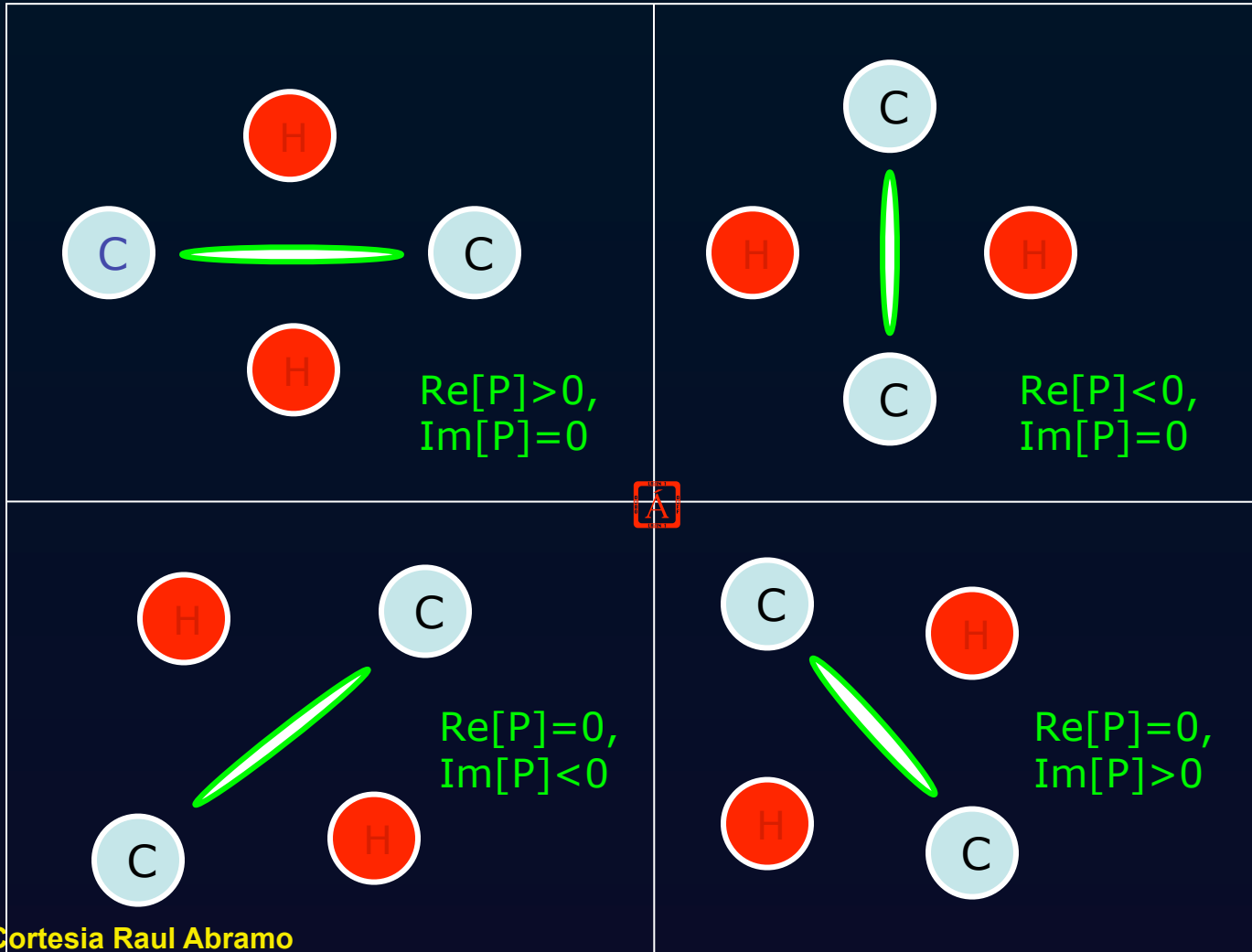
$$P = Q - iU = \frac{3\sigma_T}{4\pi} \sqrt{\frac{2\pi}{15}} a_{22} \quad , \quad I_i(\theta, \varphi) = \sum_{1m} a_{1m} Y_{1m}(\theta, \varphi)$$



Sob rotação de φ
em torno de z:

- É natural representar a polarização através da função complexa \mathbf{P} :

$$P = Q - iU = \frac{3\sigma_T}{4\pi} \sqrt{\frac{2\pi}{15}} a_{22} \quad , \quad I_i(\theta, \varphi) = \sum_{1m} a_{1m} Y_{1m}(\theta, \varphi)$$

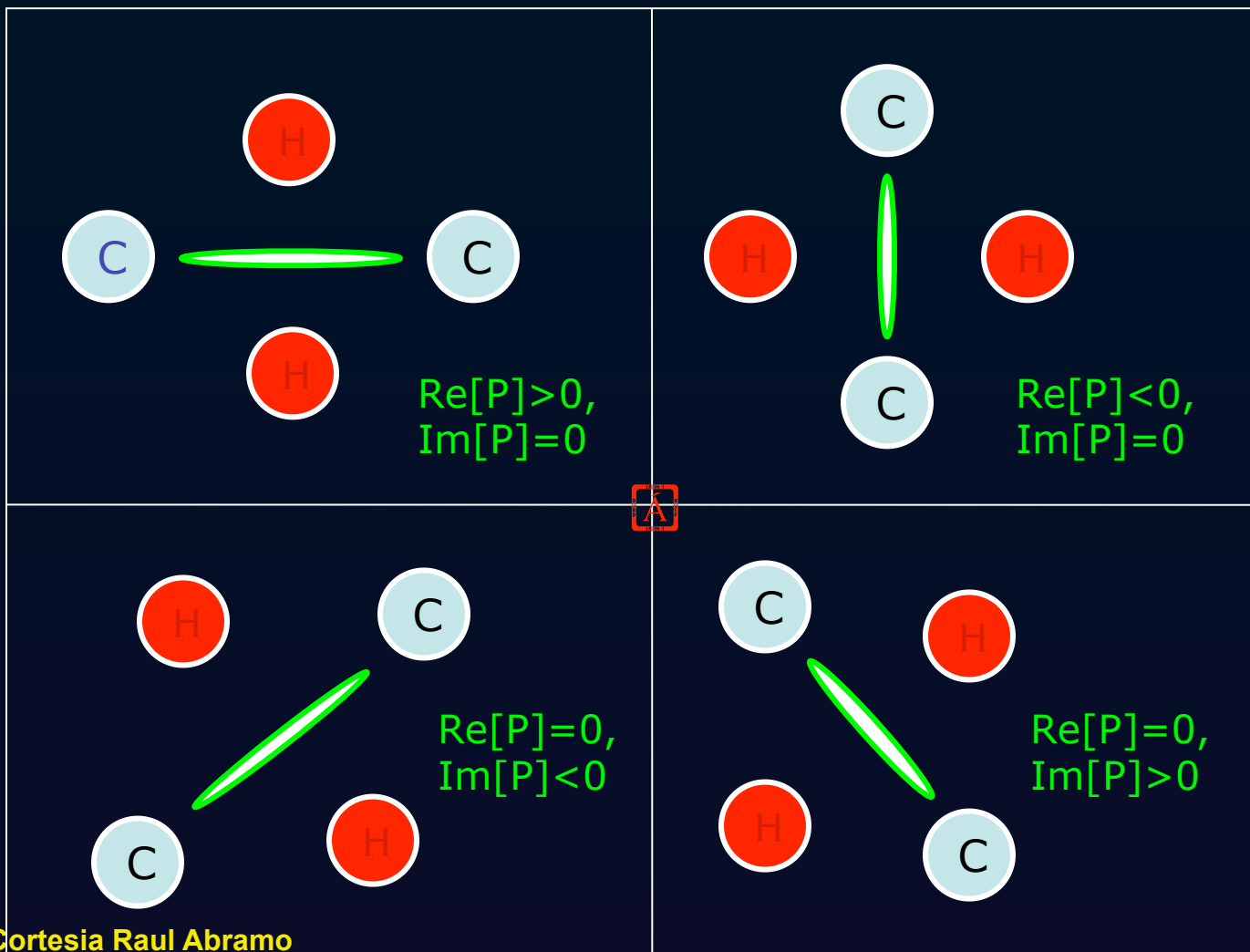


Sob rotação de φ
em torno de z:

$$P \otimes P' = e^{-2i\varphi} P$$

- É natural representar a polarização através da função complexa \mathbf{P} :

$$P = Q - iU = \frac{3\sigma_T}{4\pi} \sqrt{\frac{2\pi}{15}} a_{22} \quad , \quad I_i(\theta, \varphi) = \sum_{1m} a_{1m} Y_{1m}(\theta, \varphi)$$



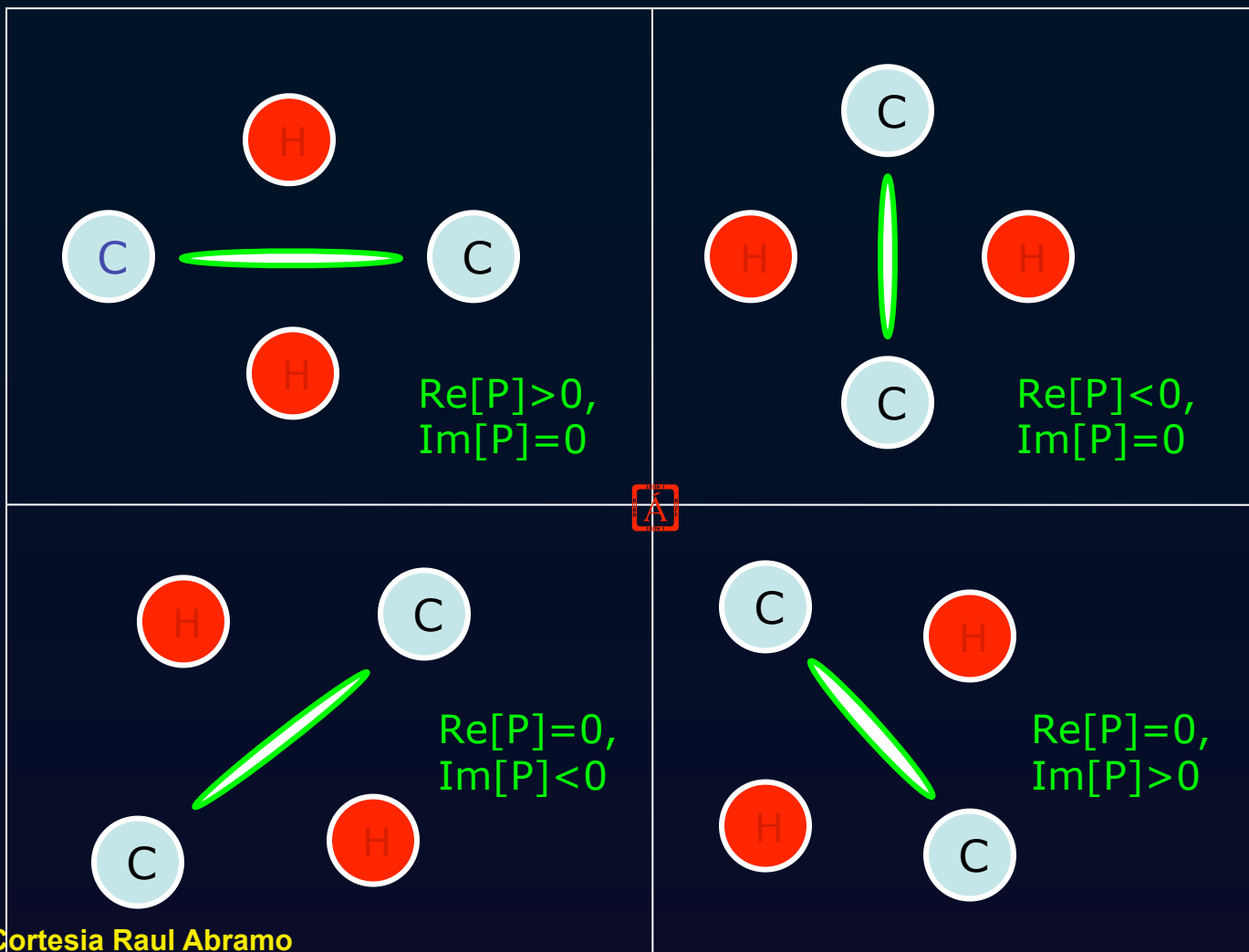
Sob rotação de φ
em torno de z:

$$P \otimes P' = e^{-2i\varphi} P$$



- É natural representar a polarização através da função complexa \mathbf{P} :

$$P = Q - iU = \frac{3\sigma_T}{4\pi} \sqrt{\frac{2\pi}{15}} a_{22} \quad , \quad I_i(\theta, \varphi) = \sum_{1m} a_{1m} Y_{1m}(\theta, \varphi)$$



Sob rotação de φ
em torno de z:

$$P \otimes P' = e^{-2i\varphi} P$$



$$P \in (l = 2, m = 2)$$

3. Modos Gradiente (E) e Rotacional (B)

3. Modos Gradiente (E) e Rotacional (B)

- A polarização representada por \mathbf{P} não é invariante por rotações em torno da direção de propagação dos fótons:

$$P \otimes P' = e^{-2i\varphi} P$$

3. Modos Gradiente (E) e Rotacional (B)

- A polarização representada por \mathbf{P} não é invariante por rotações em torno da direção de propagação dos fótons:

$$P \otimes P' = e^{-2i\varphi} P$$

- Vamos construir, a partir de \mathbf{P} , uma outra representação da polarização que é **invariante sob rotações**.
- Para isso, vamos **reduzir o "momento angular" de P, de m=2 para m=0**.
- Os operadores de "subir" e "descer" o momento angular são (2D, "flat sky"):

3. Modos Gradiente (E) e Rotacional (B)

- A polarização representada por \mathbf{P} não é invariante por rotações em torno da direção de propagação dos fótons:

$$P \otimes P' = e^{-2i\varphi} P$$

- Vamos construir, a partir de \mathbf{P} , uma outra representação da polarização que é **invariante sob rotações**.
- Para isso, vamos **reduzir o "momento angular" de P, de m=2 para m=0**.
- Os operadores de "subir" e "descer" o momento angular são (2D, "flat sky"):

$$\begin{aligned} \partial_+ &\equiv \partial_x + i\partial_y & \partial_+ \partial_- &= \nabla^2 = \partial_x^2 + \partial_y^2 \\ \partial_- &\equiv \partial_x - i\partial_y \end{aligned}$$

3. Modos Gradiente (E) e Rotacional (B)

- A polarização representada por \mathbf{P} não é invariante por rotações em torno da direção de propagação dos fótons:

$$P \otimes P' = e^{-2i\varphi} P$$

- Vamos construir, a partir de \mathbf{P} , uma outra representação da polarização que é **invariante sob rotações**.
- Para isso, vamos **reduzir o "momento angular" de P, de m=2 para m=0**.
- Os operadores de "subir" e "descer" o momento angular são (2D, "flat sky"):

$$\begin{aligned} \partial_+ &\equiv \partial_x + i\partial_y & \partial_+ \partial_- &= \nabla^2 = \partial_x^2 + \partial_y^2 \\ \partial_- &\equiv \partial_x - i\partial_y \end{aligned}$$

- Sob rotações de φ em torno de \mathbf{z} os operadores se transformam como $m=\pm 1$:

3. Modos Gradiente (E) e Rotacional (B)

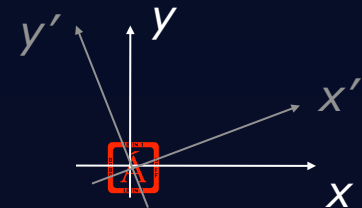
- A polarização representada por \mathbf{P} não é invariante por rotações em torno da direção de propagação dos fótons:

$$P \otimes P' = e^{-2i\varphi} P$$

- Vamos construir, a partir de \mathbf{P} , uma outra representação da polarização que é **invariante sob rotações**.
- Para isso, vamos **reduzir o "momento angular" de P, de m=2 para m=0**.
- Os operadores de "subir" e "descer" o momento angular são (2D, "flat sky"):

$$\begin{aligned} \partial_+ &\equiv \partial_x + i\partial_y & \partial_+ \partial_- &= \nabla^2 = \partial_x^2 + \partial_y^2 \\ \partial_- &\equiv \partial_x - i\partial_y \end{aligned}$$

- Sob rotações de φ em torno de \mathbf{z} os operadores se transformam como $m=\pm 1$:



3. Modos Gradiente (E) e Rotacional (B)

- A polarização representada por \mathbf{P} não é invariante por rotações em torno da direção de propagação dos fótons:

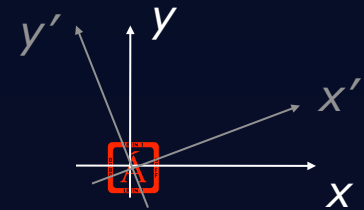
$$P \otimes P' = e^{-2i\varphi} P$$

- Vamos construir, a partir de \mathbf{P} , uma outra representação da polarização que é **invariante sob rotações**.
- Para isso, vamos **reduzir o "momento angular" de P, de m=2 para m=0**.
- Os operadores de "subir" e "descer" o momento angular são (2D, "flat sky"):

$$\begin{aligned} \partial_+ &\equiv \partial_x + i\partial_y & \partial_+ \partial_- &= \nabla^2 = \partial_x^2 + \partial_y^2 \\ \partial_- &\equiv \partial_x - i\partial_y \end{aligned}$$

- Sob rotações de φ em torno de \mathbf{z} os operadores se transformam como m= ± 1 :

$$\begin{aligned} \partial_+' &= e^{-i\varphi} \partial_+ & \partial_+' \partial_-' &= \nabla'^2 = \nabla^2 \\ \partial_-' &= e^{+i\varphi} \partial_- \end{aligned}$$



- Para “baixar” o momento angular de P , basta tomar:

$$\partial_{\ell} \times \partial_{\ell} \times P \quad \Leftrightarrow \quad \partial_{\ell}^2 P = \partial'_{\ell}{}^2 P'$$

- Para “baixar” o momento angular de P , basta tomar:

$$\partial_- \times \partial_- \times P \quad \Leftrightarrow \quad \partial_-^2 P = \partial'^2 P'$$

- Podemos então definir:

$$\partial_-^2 P = \nabla^2 \Pi \quad \Leftrightarrow \quad \nabla^2 P = \partial_+^2 \Pi$$

- Para “baixar” o momento angular de P , basta tomar:

$$\partial_- \times \partial_- \times P \quad \Leftrightarrow \quad \partial_-^2 P = \partial'^2 P'$$

- Podemos então definir:

$$\partial_-^2 P = \nabla^2 \Pi \quad \Leftrightarrow \quad \nabla^2 P = \partial_+^2 \Pi$$

- A polarização representada por Π é ***invariante por rotações*** !

$$\Pi \equiv E + iB$$

- Para “baixar” o momento angular de P , basta tomar:

$$\partial_- \times \partial_- \times P \quad \Leftrightarrow \quad \partial_-^2 P = \partial'^2 P'$$

- Podemos então definir:

$$\partial_-^2 P = \nabla^2 \Pi \quad \Leftrightarrow \quad \nabla^2 P = \partial_+^2 \Pi$$

- A polarização representada por Π é ***invariante por rotações*** !

$$\Pi \equiv E + iB$$

- E (ou G) é o modo-gradiente
 - rotacional zero
 - par sob reflexão

- Para “baixar” o momento angular de P , basta tomar:

$$\partial_- \times \partial_- \times P \quad \Leftrightarrow \quad \partial_-^2 P = \partial'^2 P'$$

- Podemos então definir:

$$\partial_-^2 P = \nabla^2 \Pi \quad \Leftrightarrow \quad \nabla^2 P = \partial_+^2 \Pi$$

- A polarização representada por Π é ***invariante por rotações*** !

$$\Pi \equiv E + iB$$

- E (ou G) é o modo-gradiente
 - rotacional zero
 - par sob reflexão



- Para “baixar” o momento angular de P , basta tomar:

$$\partial_- \times \partial_- \times P \quad \Leftrightarrow \quad \partial_-^2 P = \partial'^2 P'$$

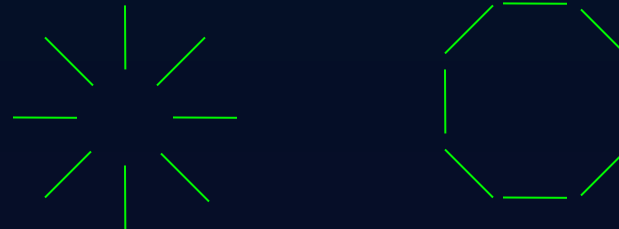
- Podemos então definir:

$$\partial_-^2 P = \nabla^2 \Pi \quad \Leftrightarrow \quad \nabla^2 P = \partial_+^2 \Pi$$

- A polarização representada por Π é ***invariante por rotações*** !

$$\Pi \equiv E + iB$$

- **E** (ou **G**) é o modo-gradiente
 - rotacional zero
 - par sob reflexão



- **B** (ou **C**) é o modo-rotacional
 - gradiente zero
 - ímpar sob reflexão

- Para “baixar” o momento angular de P , basta tomar:

$$\partial_- \times \partial_- \times P \quad \Leftrightarrow \quad \partial_-^2 P = \partial'^2 P'$$

- Podemos então definir:

$$\partial_-^2 P = \nabla^2 \Pi \quad \Leftrightarrow \quad \nabla^2 P = \partial_+^2 \Pi$$

- A polarização representada por Π é **invariante por rotações** !

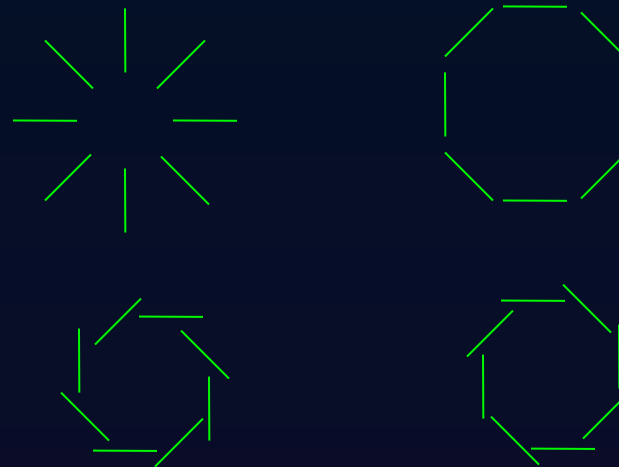
$$\Pi \equiv E + iB$$

- **E** (ou **G**) é o modo-gradiente

- rotacional zero
- par sob reflexão

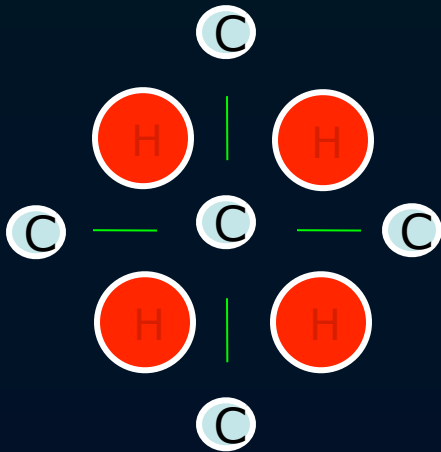
- **B** (ou **C**) é o modo-rotacional

- gradiente zero
- ímpar sob reflexão

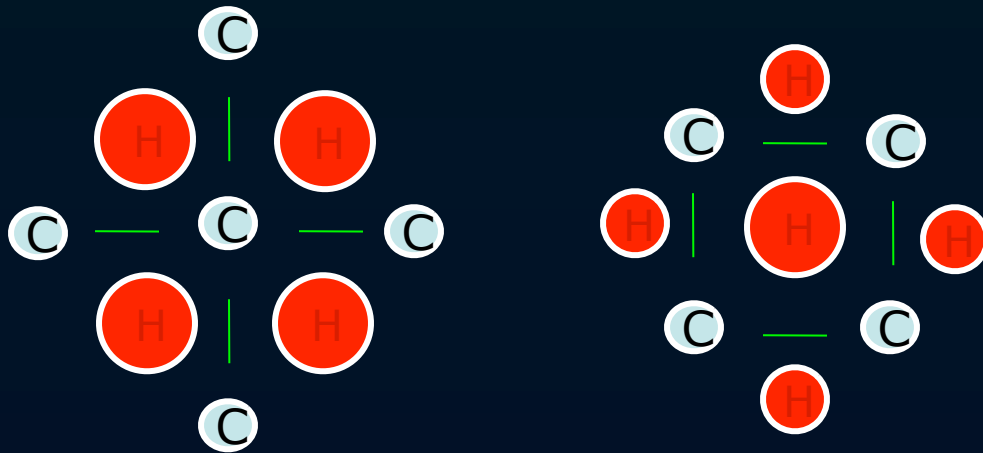


- As **perturbações de densidade adiabáticas** só produzem modos **E** :

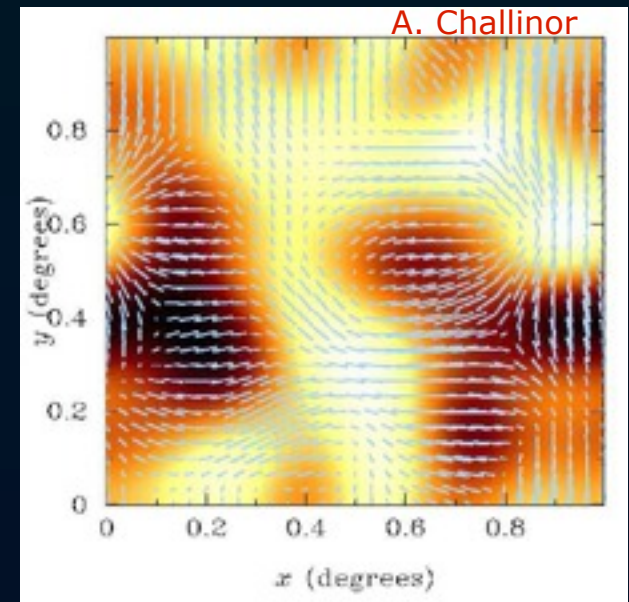
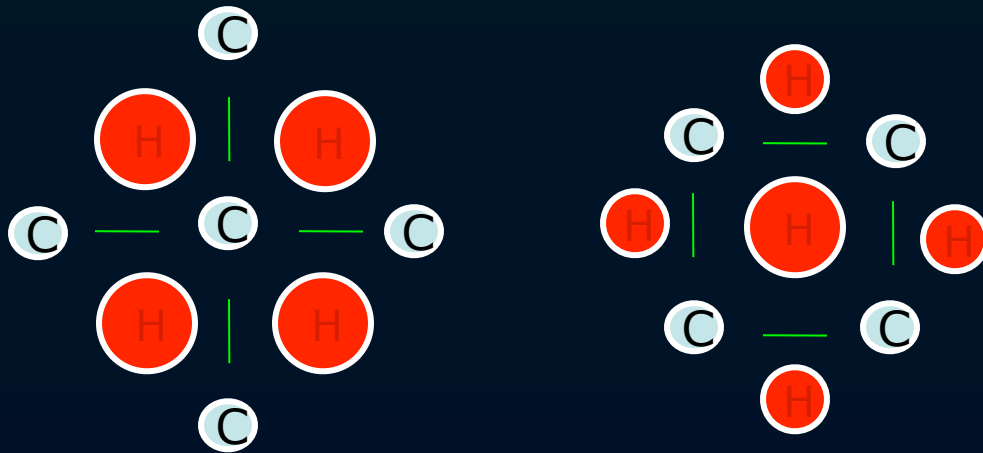
- As **perturbações de densidade adiabáticas** só produzem modos ***E***:



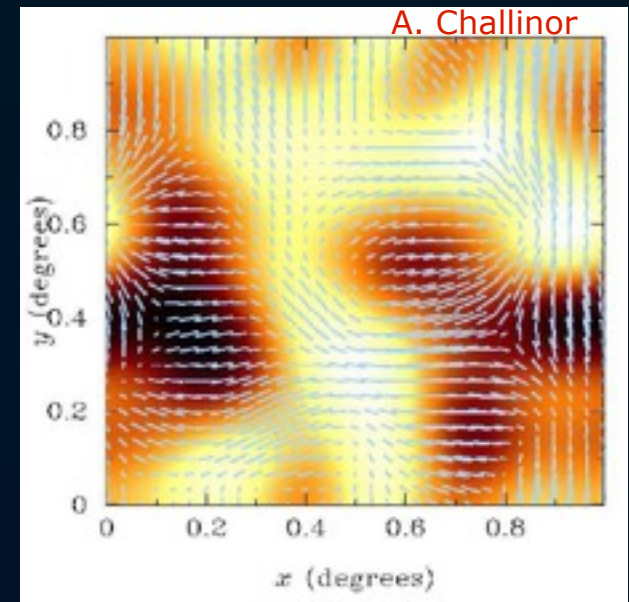
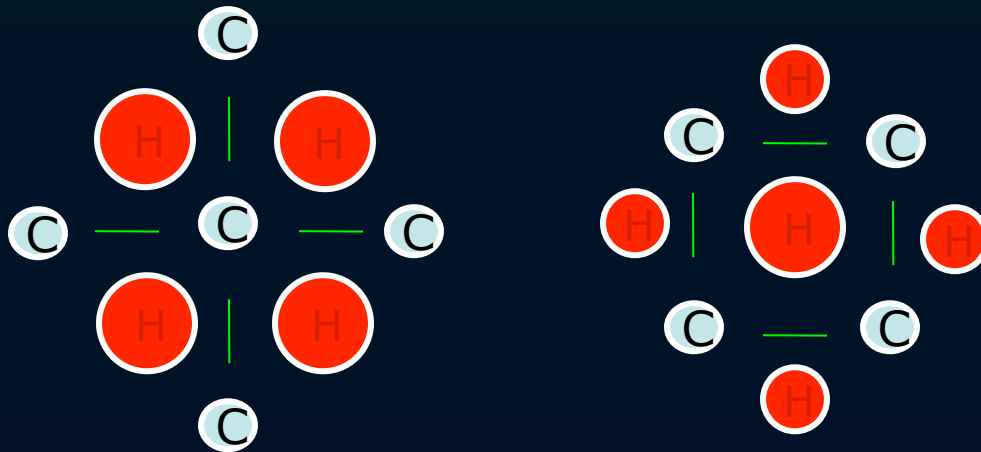
- As **perturbações de densidade adiabáticas** só produzem modos ***E***:



- As **perturbações de densidade adiabáticas** só produzem modos ***E***:

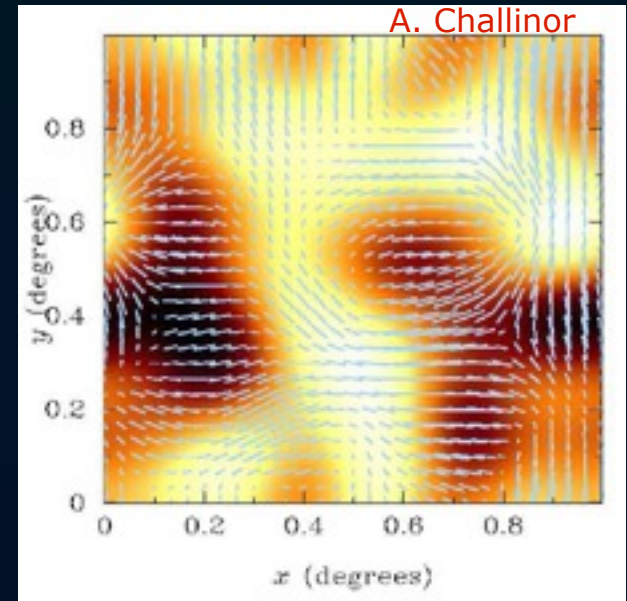
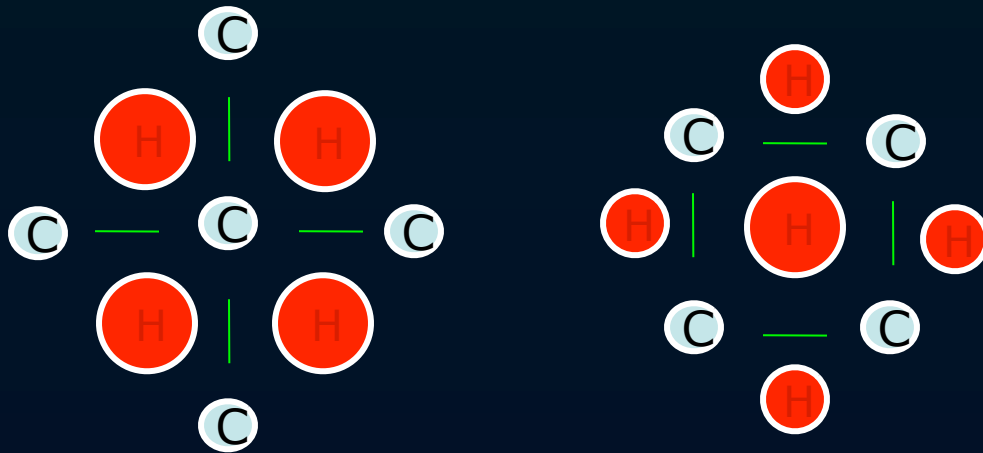


- As **perturbações de densidade adiabáticas** só produzem modos **E**:

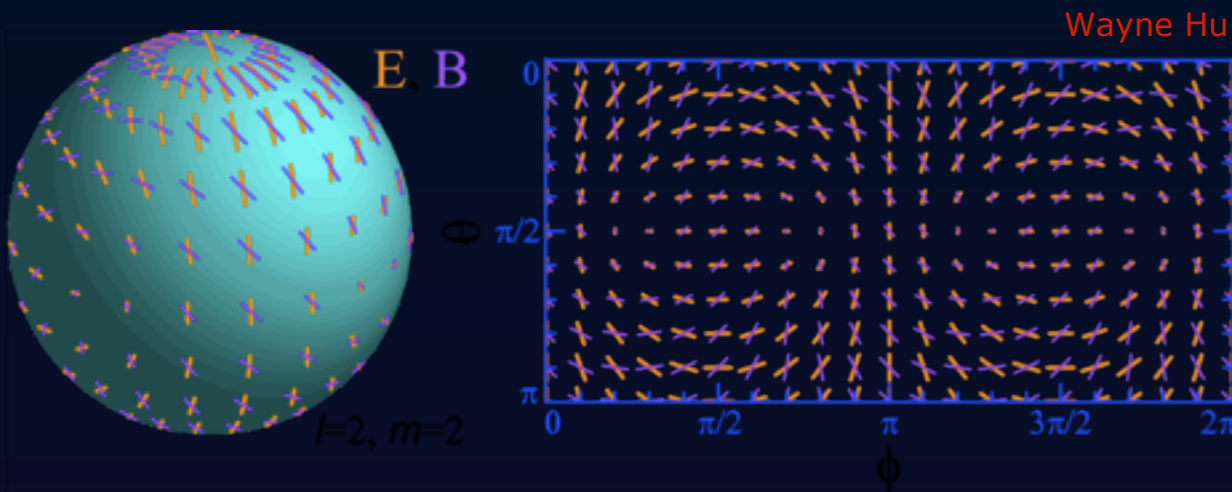


- Já as **ondas gravitacionais** produzem tanto modos **E** como modos **B**

- As **perturbações de densidade adiabáticas** só produzem modos **E**:

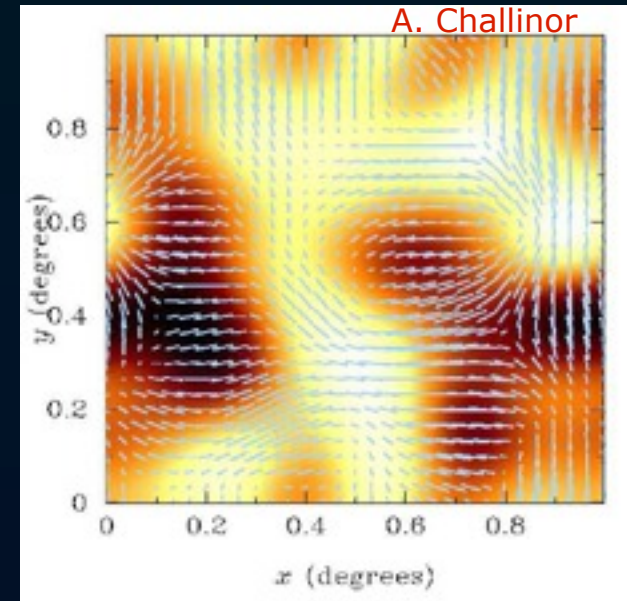
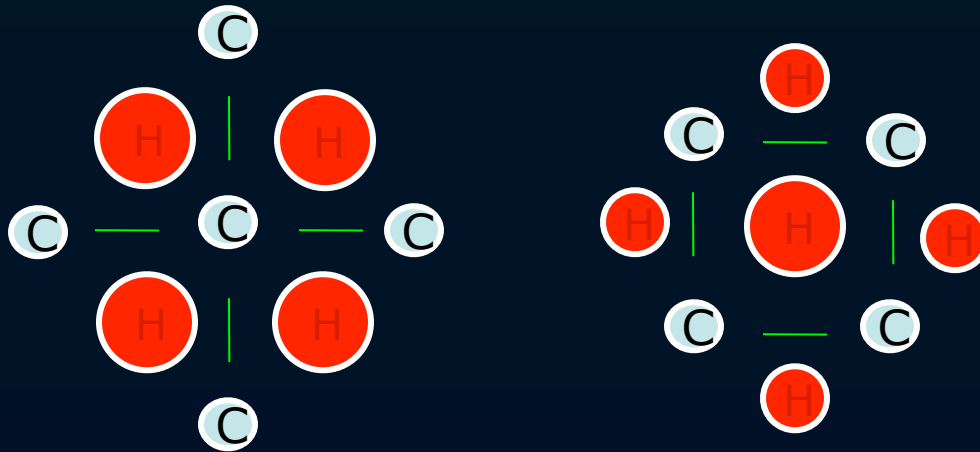


- Já as **ondas gravitacionais** produzem tanto modos **E** como modos **B**

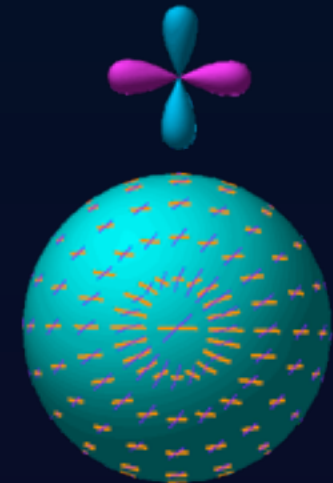
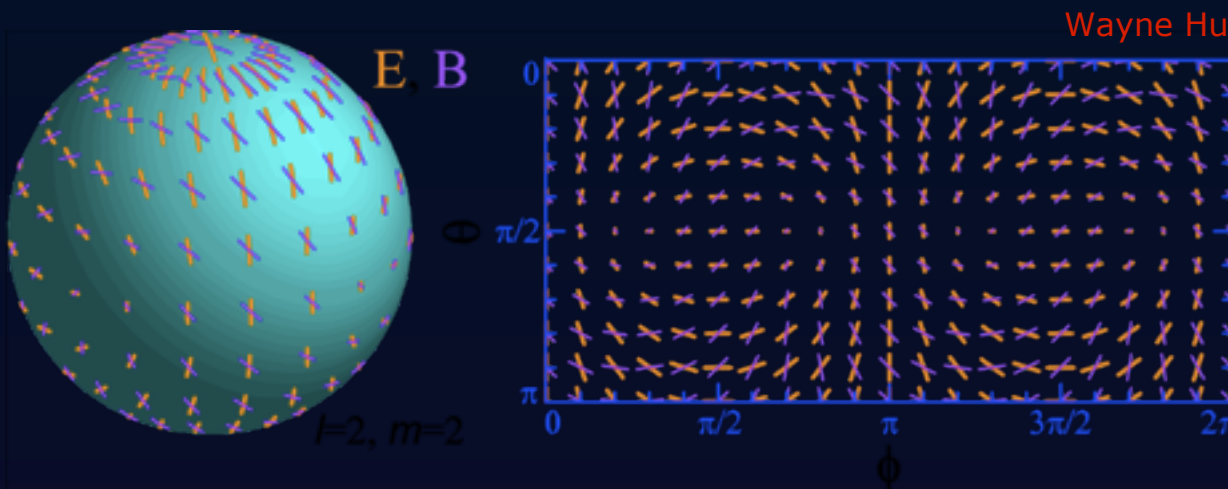


Cortesia Raul Abramo

- As **perturbações de densidade adiabáticas** só produzem modos **E**:



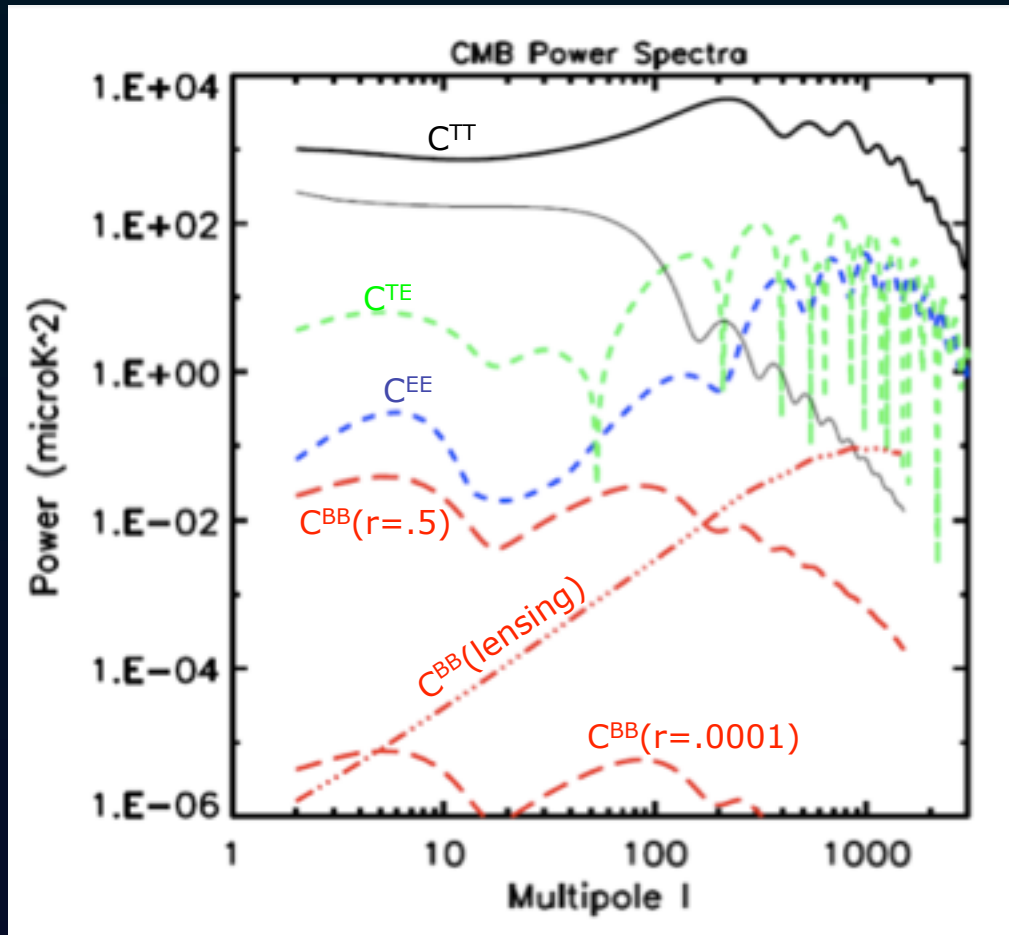
- Já as **ondas gravitacionais** produzem tanto modos **E** como modos **B**



Cortesia Raul Abramo

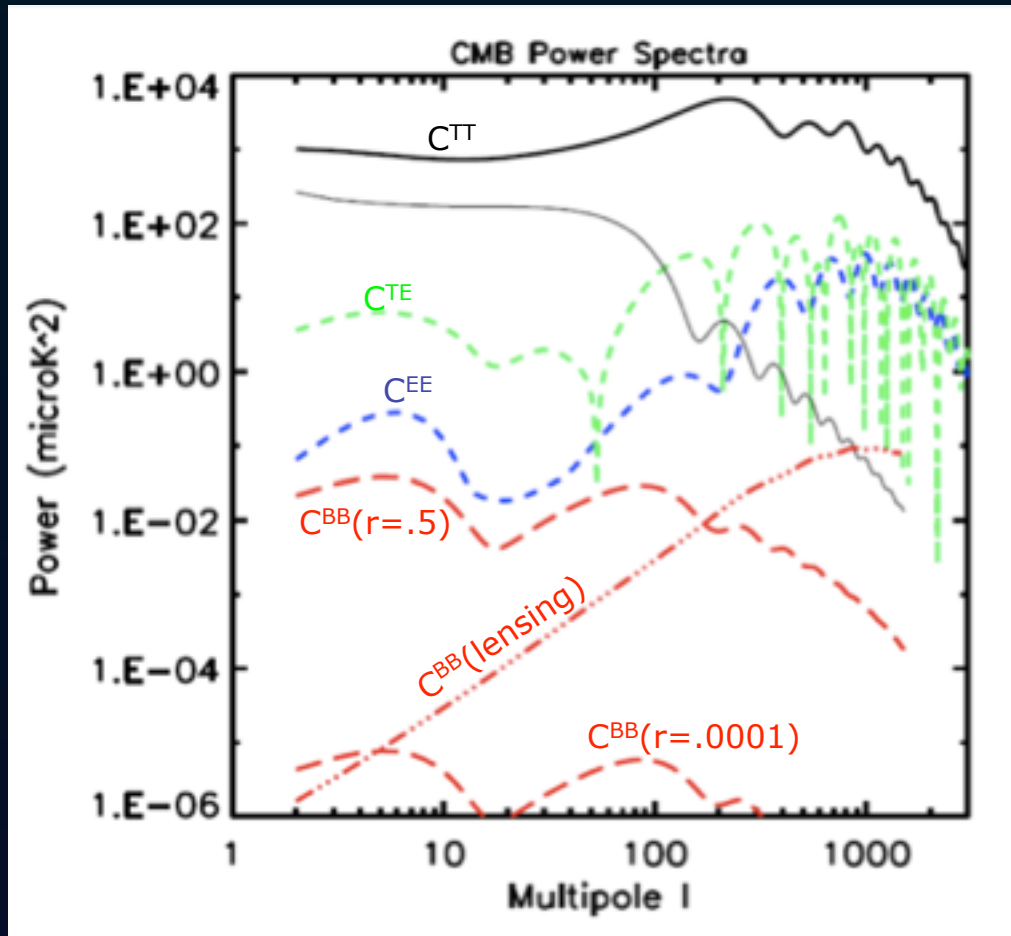
4. Observações

Teoria:

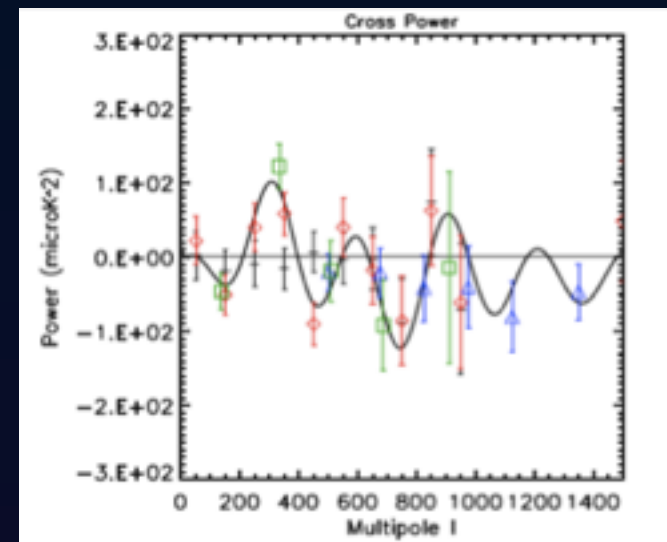
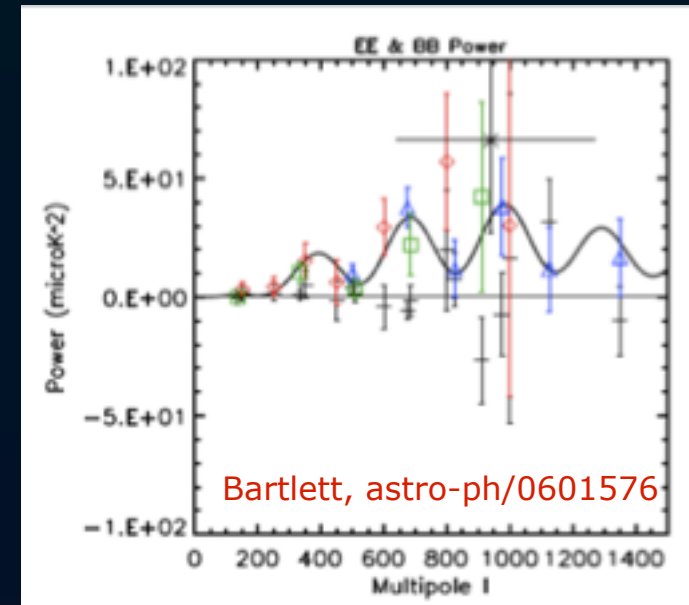


4. Observações

Teoria:



Dados:
BOOMERanG, DASI, CBI



• Fontes de polarização

